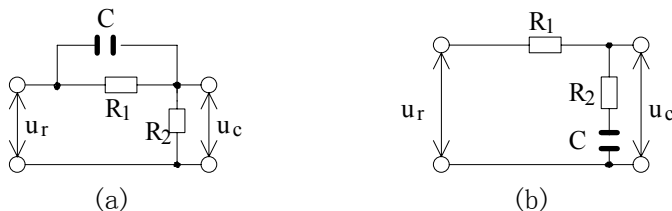


## 第五章习题与解答

5-1 试求题5-1图(a)、(b)网络的频率特性。



题5-1图 R-C网络

解 (a) 依图: 
$$\frac{U_c(s)}{U_r(s)} = \frac{R_2}{R_1 + \frac{1}{sC}} = \frac{K_1(\tau_1 s + 1)}{T_1 s + 1} \quad \begin{cases} K_1 = \frac{R_2}{R_1 + R_2} \\ \tau_1 = R_1 C \\ T_1 = \frac{R_1 R_2 C}{R_1 + R_2} \end{cases}$$

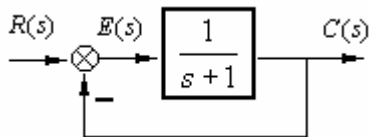
$$G_a(j\omega) = \frac{U_c(j\omega)}{U_r(j\omega)} = \frac{R_2 + j\omega R_1 R_2 C}{R_1 + R_2 + j\omega R_1 R_2 C} = \frac{K_1(1 + j\tau_1 \omega)}{1 + jT_1 \omega}$$

(b) 依图: 
$$\frac{U_c(s)}{U_r(s)} = \frac{R_2 + \frac{1}{sC}}{R_1 + R_2 + \frac{1}{sC}} = \frac{\tau_2 s + 1}{T_2 s + 1} \quad \begin{cases} \tau_2 = R_2 C \\ T_2 = (R_1 + R_2)C \end{cases}$$

$$G_b(j\omega) = \frac{U_c(j\omega)}{U_r(j\omega)} = \frac{1 + j\omega R_2 C}{1 + j\omega(R_1 + R_2)C} = \frac{1 + j\tau_2 \omega}{1 + jT_2 \omega}$$

5-2 某系统结构图如题5-2图所示，试根据频率特性的物理意义，求下列输入信号作用时，系统的稳态输出  $c_s(t)$  和稳态误差  $e_s(t)$

- (1)  $r(t) = \sin 2t$
- (2)  $r(t) = \sin(t + 30^\circ) - 2\cos(2t - 45^\circ)$



题5-2图 反馈控制系统结构图

解 系统闭环传递函数为:  $\Phi(s) = \frac{1}{s+2}$

频率特性:  $\Phi(j\omega) = \frac{1}{j\omega+2} = \frac{2}{4+\omega^2} + j\frac{-\omega}{4+\omega^2}$

幅频特性:  $|\Phi(j\omega)| = \frac{1}{\sqrt{4+\omega^2}}$

相频特性:  $\varphi(\omega) = \arctan(\frac{-\omega}{2})$

系统误差传递函数:  $\Phi_e(s) = \frac{1}{1+G(s)} = \frac{s+1}{s+2}$ ,

则  $|\Phi_e(j\omega)| = \frac{\sqrt{1+\omega^2}}{\sqrt{4+\omega^2}}$ ,  $\varphi_e(j\omega) = \arctan \omega - \arctan(\frac{\omega}{2})$

(1) 当  $r(t) = \sin 2t$  时,  $\omega = 2$ ,  $r_m = 1$

则  $|\Phi(j\omega)|_{\omega=2} = \frac{1}{\sqrt{8}} = 0.35$ ,  $\varphi(j2) = \arctan(\frac{-2}{2}) = -45^\circ$

$$|\Phi_e(j\omega)|_{\omega=2} = \frac{\sqrt{5}}{\sqrt{8}} = 0.79,$$

$$\varphi_e(j2) = \arctan \frac{2}{6} = 18.4^\circ$$

$$c_{ss} = r_m |\Phi(j2)| \sin(2t - \varphi^\circ) = 0.35 \sin(2t - 45^\circ)$$

$$e_{ss} = r_m |\Phi_e(j2)| \sin(2t - \varphi_e) = 0.79 \sin(2t + 18.4^\circ)$$

(2) 当  $r(t) = \sin(t + 30^\circ) - 2 \cos(2t - 45^\circ)$  时: 
$$\begin{cases} \omega_1 = 1, & r_{m1} = 1 \\ \omega_2 = 2, & r_{m2} = 2 \end{cases}$$

$$|\Phi(j1)| = \frac{\sqrt{5}}{5} = 0.45 \quad \varphi(j1) = \arctan(\frac{-1}{2}) = -26.5^\circ$$

$$|\Phi_e(j1)| = \frac{\sqrt{10}}{5} = 0.63 \quad \varphi_e(j1) = \arctan(\frac{1}{3}) = 18.4^\circ$$

$$\begin{aligned} c_{ss}(t) &= r_m |\Phi(j1)| \cdot \sin[t + 30^\circ + \varphi(j1)] - r_m |\Phi(j2)| \cdot \cos[2t - 45^\circ + \varphi(j2)] \\ &= 0.4 \sin(t + 3.4^\circ) - 0.7 \cos(2t - 90^\circ) \end{aligned}$$

$$\begin{aligned} e_{ss}(t) &= r_m |\Phi_e(j1)| \cdot \sin[t + 30^\circ + \varphi_e(j1)] - r_m |\Phi_e(j2)| \cdot \cos[2t - 45^\circ + \varphi_e(j2)] \\ &= 0.63 \sin(t + 48.4^\circ) - 1.58 \cos(2t - 26.6^\circ) \end{aligned}$$

5-3 若系统单位阶跃响应

$$h(t) = 1 - 1.8e^{-4t} + 0.8e^{-9t} \quad t \geq 0$$

试求系统频率特性。

解 
$$C(s) = \frac{1}{s} - \frac{1.8}{s+4} + \frac{0.8}{s+9} = \frac{36}{s(s+4)(s+9)}, \quad R(s) = \frac{1}{s}$$

则 
$$\frac{C(s)}{R(s)} = \Phi(s) = \frac{36}{(s+4)(s+9)}$$

频率特性为 
$$\Phi(j\omega) = \frac{36}{(j\omega+4)(j\omega+9)}$$

5-4 绘制下列传递函数的幅相曲线：

(1)  $G(s) = K/s$

(2)  $G(s) = K/s^2$

(3)  $G(s) = K/s^3$

解 (1)  $G(j) = \frac{K}{j\omega} = \frac{K}{\omega} e^{-j(+\frac{\pi}{2})}$

$$\omega = 0, \quad |G(j0)| \rightarrow \infty$$

$$\omega \rightarrow \infty, \quad |G(j\infty)| = 0$$

$$\varphi(\omega) = -\frac{\pi}{2}$$

幅频特性如图解5-4(a)。

(2)  $G(j\omega) = \frac{K}{(j\omega)^2} = \frac{K}{\omega^2} e^{-j(\pi)}$

$$\omega = 0, \quad |G(j0)| \rightarrow \infty$$

$$\omega \rightarrow \infty, \quad |G(j\infty)| = 0$$

$$\varphi(\omega) = -\pi$$

幅频特性如图解5-4(b)。

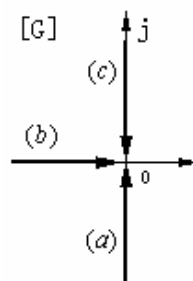
(3)  $G(j\omega) = \frac{K}{(j\omega)^3} = \frac{K}{\omega^3} e^{-j(\frac{3\pi}{2})}$

$$\omega = 0, \quad |G(j0)| \rightarrow \infty$$

$$\omega \rightarrow \infty, \quad |G(j\infty)| = 0$$

$$\varphi(\omega) = -\frac{3\pi}{2}$$

幅频特性如图解5-4(c)。



图解5-4

5-5 已知系统开环传递函数

$$G(s)H(s) = \frac{10}{s(2s+1)(s^2+0.5s+1)}$$

试分别计算  $\omega = 0.5$  和  $\omega = 2$  时开环频率特性的幅值  $A(\omega)$  和相角  $\varphi(\omega)$ 。

解

$$G(j\omega)H(j\omega) = \frac{10}{j\omega(1+j2\omega)((1-\omega^2+j0.5\omega))}$$

$$A(\omega) = \frac{10}{\omega\sqrt{1+(2\omega)^2}\sqrt{(1-\omega^2)^2+(0.5\omega)^2}}$$

$$\varphi(\omega) = -90^\circ - \arctan 2\omega - \arctan \frac{0.5\omega}{1-\omega^2}$$

计算可得

$$\begin{cases} A(0.5) = 17.8885 \\ \varphi(0.5) = -153.435^\circ \end{cases} \quad \begin{cases} A(2) = 0.3835 \\ \varphi(2) = -327.53^\circ \end{cases}$$

5-6 试绘制下列传递函数的幅相曲线。

$$(1) \quad G(s) = \frac{5}{(2s+1)(8s+1)}$$

$$(2) \quad G(s) = \frac{10(1+s)}{s^2}$$

解 (1)

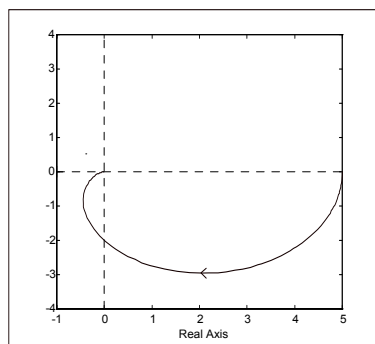
$$|G(j\omega)| = \frac{5}{\sqrt{(1-16\omega^2)^2 + (10\omega)^2}}$$

$$\angle G(j\omega) = -\operatorname{tg}^{-1} 2\omega - \operatorname{tg}^{-1} 8\omega = -\operatorname{tg}^{-1} \frac{10\omega}{1-16\omega^2}$$

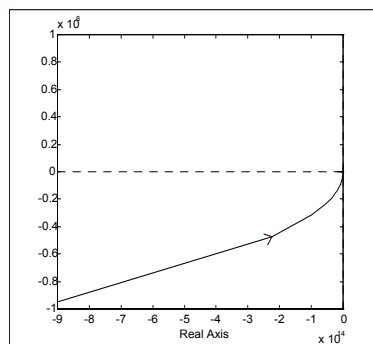
取  $\omega$  为不同值进行计算并描点画图，可以作出准确图形

- 三个特殊点：
- ①  $\omega=0$  时，  $|G(j\omega)|=5$ ,  $\angle G(j\omega)=0^\circ$
  - ②  $\omega=0.25$  时，  $|G(j\omega)|=2$ ,  $\angle G(j\omega)=-90^\circ$
  - ③  $\omega=\infty$  时，  $|G(j\omega)|=0$ ,  $\angle G(j\omega)=-180^\circ$

幅相特性曲线如图解5-6 (1) 所示。



图解5-6 (1) Nyquist图



图解5-6 (2) Nyquist图

$$(2) \quad |G(j\omega)| = \frac{10\sqrt{1+\omega^2}}{\omega^2}$$

$$\angle G(j\omega) = \lg^{-1} \omega - 180^\circ$$

两个特殊点： ①  $\omega=0$ 时，  $|G(j\omega)| = \infty$  ,  $\angle G(j\omega) = -180^\circ$

②  $\omega=\infty$ 时，  $|G(j\omega)| = 0$  ,  $\angle G(j\omega) = -90^\circ$

幅相特性曲线如图解5-6 (2) 所示。

**5-7** 已知系统开环传递函数

$$G(s) = \frac{K(-T_2s+1)}{s(T_1s+1)}; \quad K, T_1, T_2 > 0$$

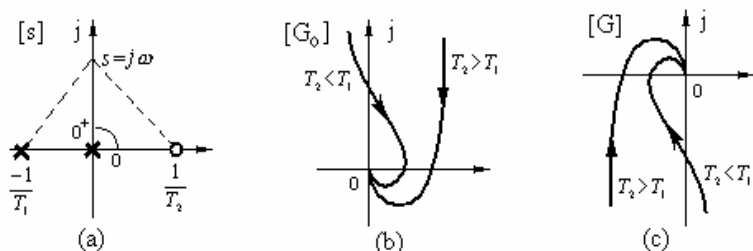
当  $\omega=1$  时，  $\angle G(j\omega) = -180^\circ$  ,  $|G(j\omega)| = 0.5$ 。系统的单位速度稳态误差  $e_{ssv} = 1$

。试写出系统开环频率特性表达式  $G(j\omega)$ 。

$$\text{解 } G(s) = \frac{-K(T_2s-1)}{s(T_1s+1)}$$

先绘制  $G_0(s) = \frac{K(T_2s-1)}{s(T_1s+1)}$  的幅相曲线，然后顺时针转  $180^\circ$  即可得到  $G(j\omega)$  幅相曲线

。  $G_0(s)$  的零极点分布图及幅相曲线分别如图解5-7(a)、(b)所示。  $G(s)$  的幅相曲线如图解5-7(c)所示。



图解5-7

依题意有：  $K_v = \lim_{s \rightarrow 0} sG(s) = K$  ,  $e_{ssv} = 1/K = 1$  , 因此  $K = 1$ 。

$$\angle G(j1) = -\arctan T_2 - 90^\circ - \arctan T_1 = -180^\circ$$

$$\arctan T_1 + \arctan T_2 = \arctan \frac{T_1 + T_2}{1 - T_1 T_2} = 90^\circ$$

$$T_1 T_2 = 1$$

$$\text{另有: } |G(j1)| = \left| \frac{(1-jT_2)(1-jT_1)}{1+T_1^2} \right| = \frac{|1-T_1 T_2 - j(T_1 + T_2)|}{1+T_2^2} = \frac{(T_1 + T_2)}{1+T_2^2} = 0.5$$

$$T_2^2 - 2T_2 + 1 - 2T_1 = T_2^2 - 2T_2 + 1 - 2/T_2 = 0$$

$$T_2^3 - 2T_2^2 + T_2 - 2 = (T_2^2 + 1)(T_2 - 2) = 0$$

可得:  $T_2 = 2$ ,  $T_1 = 1/T_2 = 0.5$ ,  $K = 1$ 。

所以:  $G(j\omega) = \frac{1 - j2\omega}{j\omega(1 + j0.5\omega)}$

**5-8** 已知系统开环传递函数

$$G(s) = \frac{10}{s(s+1)(s^2+1)}$$

试概略绘制系统开环幅相曲线。

解  $G(j\omega)$  的零极点分布图如图解5-9(a)所示。

$\omega = 0 \rightarrow \infty$  变化时, 有

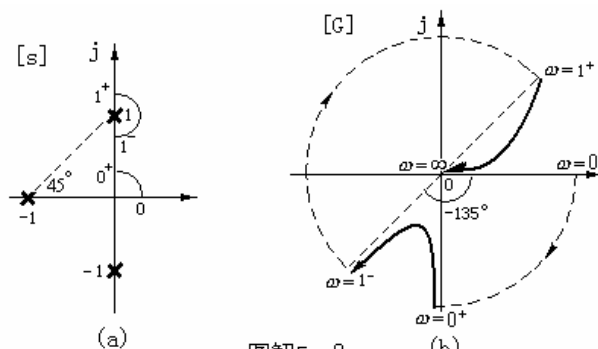
$$G(j0^+) = \infty \angle -90^\circ$$

$$G(j1^-) = \infty \angle -135^\circ$$

$$G(1^+) = \infty \angle 315^\circ$$

$$G(j\infty) = 0 \angle -360^\circ$$

分析  $s$  平面各零极点矢量随  $\omega = 0 \rightarrow \infty$  的变化趋势, 可以绘出开环幅相曲线如图解5-8(b)所示。



图解5-8

**5-9** 绘制下列传递函数的渐近对数幅频特性曲线。

(1)  $G(s) = \frac{2}{(2s+1)(8s+1)}$ ;

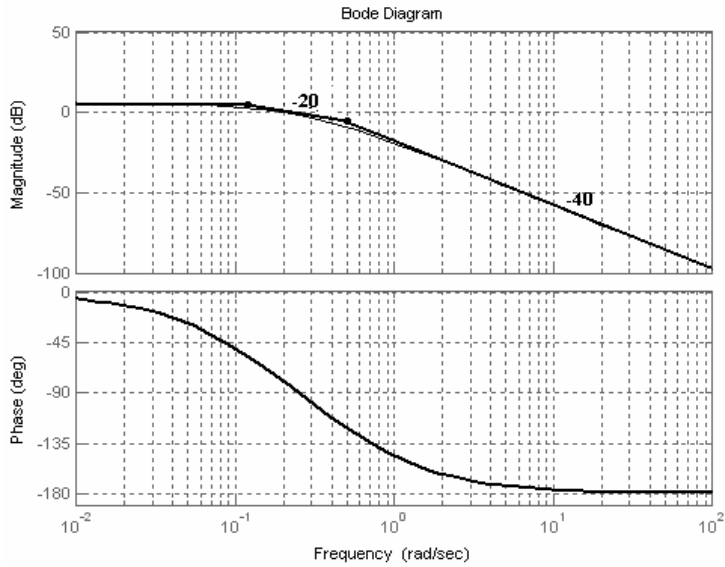
(2)  $G(s) = \frac{200}{s^2(s+1)(10s+1)}$ ;

(3)  $G(s) = \frac{40(s+0.5)}{s(s+0.2)(s^2+s+1)}$

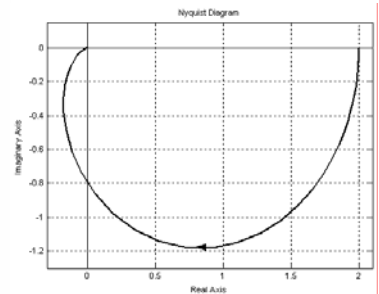
(4)  $G(s) = \frac{20(3s+1)}{s^2(6s+1)(s^2+4s+25)(10s+1)}$

$$(5) \quad G(s) = \frac{8(s+0.1)}{s(s^2+s+1)(s^2+4s+25)}$$

解 (1)  $G(s) = \frac{2}{(2s+1)(8s+1)}$

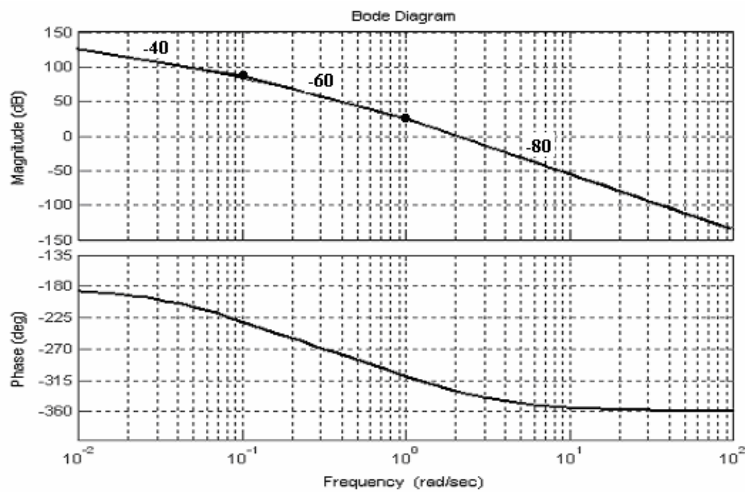


图解5-9 (1) Bode图

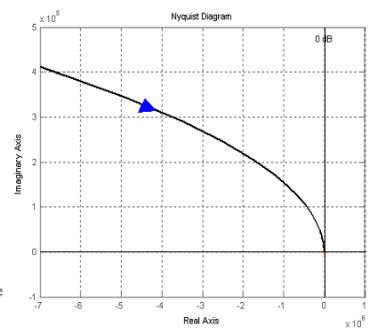


Nyquist图

$$(2) \quad G(s) = \frac{200}{s^2(s+1)(10s+1)}$$

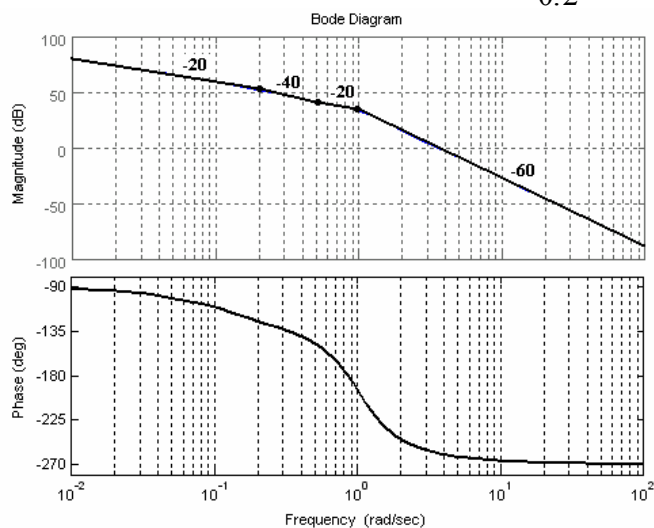


图解5-9 (2) Bode图

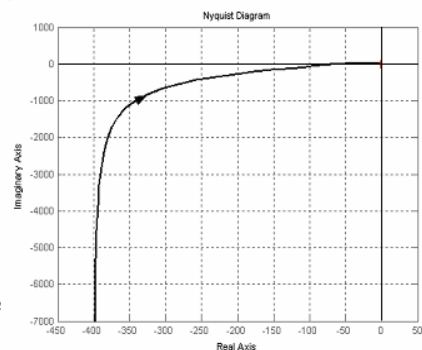


Nyquist图

$$(3) \quad G(s) = \frac{40(s+0.5)}{s(s+0.2)(s^2+s+1)} = \frac{100(2s+1)}{s(\frac{s}{0.2}+1)(s^2+s+1)}$$



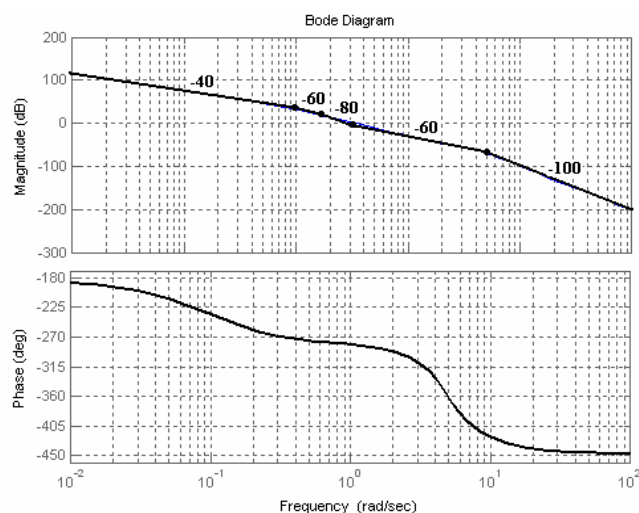
图解5-9 (3) Bode图



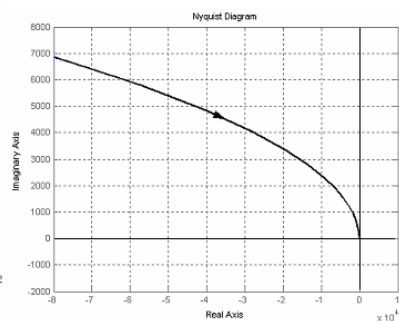
Nyquist图

$$(4) \quad G(s) = \frac{20(3s+1)}{s^2(6s+1)(s^2+4s+25)(10s+1)}$$

$$G(s) = \frac{\frac{20}{25}(3s+1)}{s^2(6s+1)\left[\left(\frac{s}{5}\right)^2 + \frac{4}{25}s+1\right](10s+1)}$$



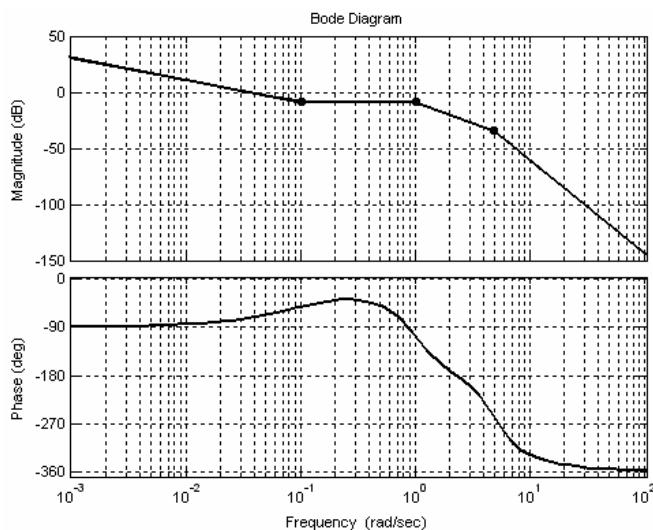
图解5-9 (4) Bode图



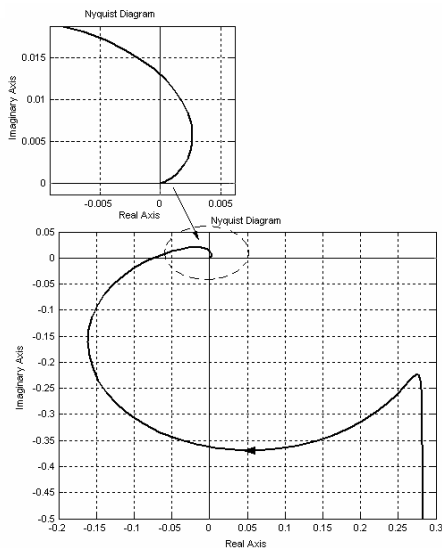
Nyquist图



$$(5) \quad G(s) = \frac{8(s+0.1)}{s(s^2+s+1)(s^2+4s+25)} = \frac{0.8 \left( \frac{1}{0.1}s + 1 \right)}{s(s^2+s+1) \left[ \left( \frac{1}{5}s \right)^2 + \frac{4}{25}s + 1 \right]}$$



图解5-9 (5) Bode图

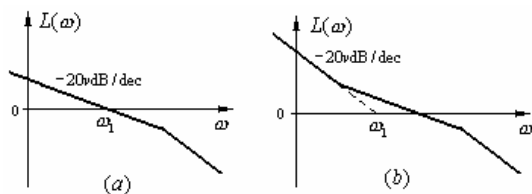


Nyquist图

5-10 若传递函数  $G(s) = \frac{K}{s^v} G_0(s)$ , 式中,  $G_0(s)$  为  $G(s)$  中, 除比例和积分两种环节外的部分, 试证

$$\omega_1 = K^{\frac{1}{v}}$$

式中,  $\omega_1$  为近似对数幅频曲线最左端直线 (或其延长线) 与零分贝线交点的频率, 如题5-10图所示。



题5-10图

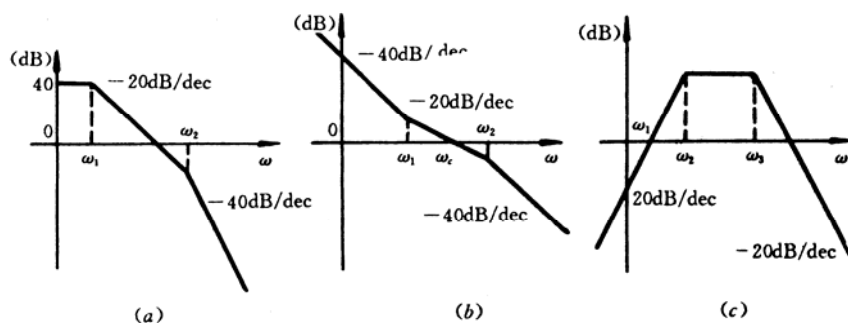
证 依题意,  $G(s)$  近似对数频率曲线最左端直线 (或其延长线) 对应的传递函数为  $\frac{K}{s^v}$ 。

题意即要证明  $\frac{K}{s^v}$  的对数幅频曲线与 0dB 交点处的频率值  $\omega_1 = K^{\frac{1}{v}}$ 。因此, 令

$$20 \lg \left| \frac{K}{(j\omega)^v} \right| = 0, \text{ 可得 } \frac{K}{\omega_1^v} = 1, \text{ 故 } \omega_1^v = K, \quad \therefore \omega_1 = K^{\frac{1}{v}}, \text{ 证毕。}$$

5-11 三个最小相角系统传递函数的近似对数幅频曲线分别如题5-11图(a)、(b)和(c)所示。要求：

- (1) 写出对应的传递函数；
- (2) 概略绘制对应的对数幅频和对数相频曲线。

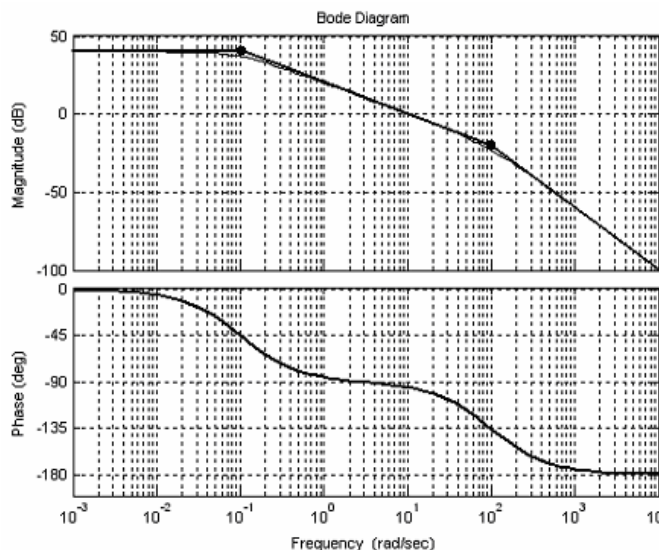


题5-11图

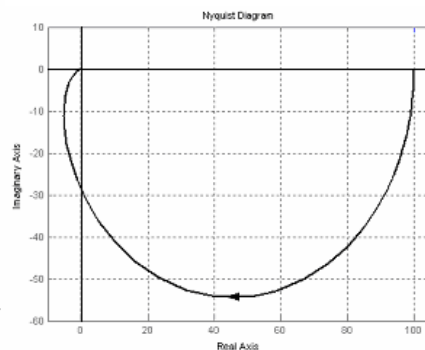
解 (a) 依图可写出: 
$$G(s) = \frac{K}{(\frac{s}{\omega_1} + 1)(\frac{s}{\omega_2} + 1)}$$

其中参数:  $20 \lg K = L(\omega) = 40 \text{ dB}$ ,  $K = 100$

则: 
$$G(s) = \frac{100}{(\frac{1}{\omega_1} s + 1)(\frac{1}{\omega_2} s + 1)}$$

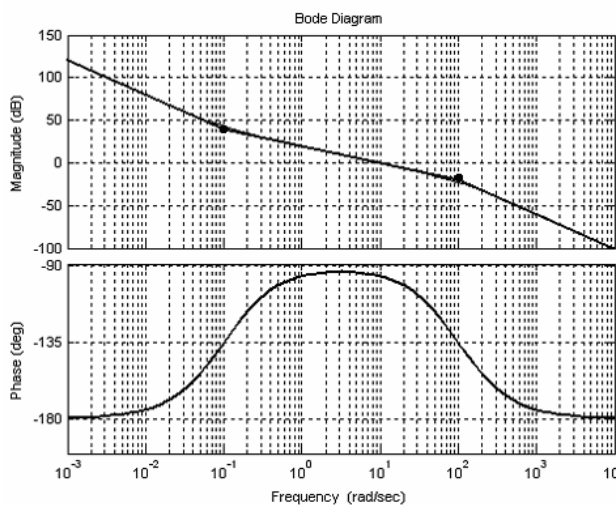


图解5-11 (a) Bode图

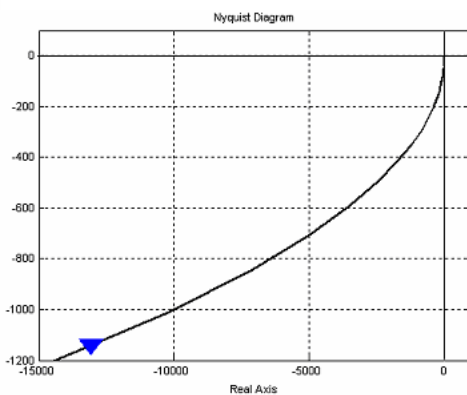


Nyquist图

(b) 依图可写出 
$$G(s) = \frac{K(\frac{s}{\omega_1} + 1)}{s^2(\frac{s}{\omega_2} + 1)}$$
 
$$K = \omega_0^2 = \omega_1 \omega_c$$

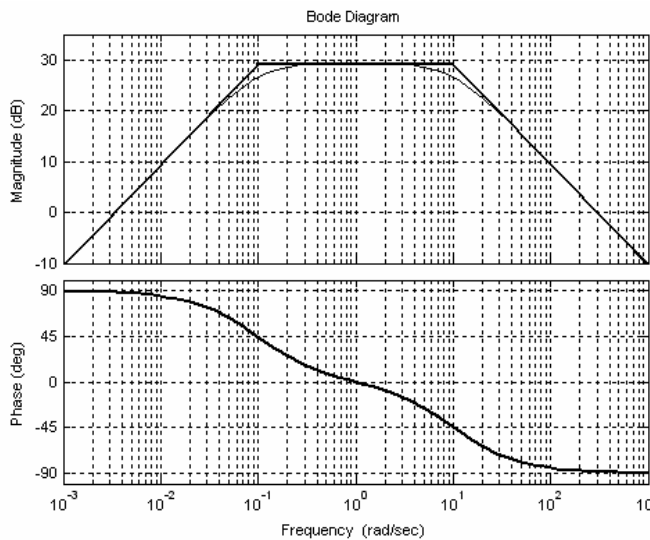


图解5-11 (b) Bode图

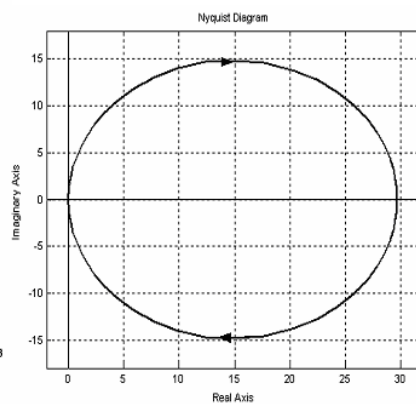


Nyquist图

(c) 
$$G(s) = \frac{K \cdot s}{(\frac{s}{\omega_2} + 1)(\frac{s}{\omega_3} + 1)}$$
 
$$\because 20 \lg K \omega_1 = 0, \quad K = \frac{1}{\omega_1}$$



图解5-11 (c) Bode图



Nyquist图

5-12 已知  $G_1(s)$ 、 $G_2(s)$  和  $G_3(s)$  均为最小相角传递函数，其近似对数幅频曲线如题 5-12 图所示。试概略绘制传递函数

$$G_4(s) = \frac{G_1(s)G_2(s)}{1 + G_2(s)G_3(s)}$$

的对数幅频、对数相频和幅相特性曲线。

解：(1)  $\because L_1(\omega) = 20\lg K_1 = 45.11$

$$\therefore K_1 = 180$$

则： $G_1(s) = K_1$

(2)

$$\because L_3(\omega) = 20\lg \omega K_3 = 20\lg 0.111 K_3 = 0$$

$$\therefore K_3 = \frac{1}{0.111} = 9, \quad G_3(s) = K_3 s$$

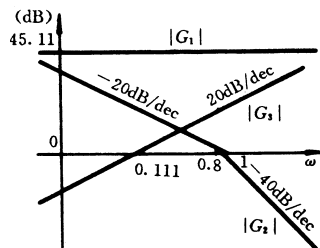
$$(3) \quad G_2(s) = \frac{K_2}{s(\frac{s}{0.8} + 1)}$$

$$20\lg K_2 / \omega = 20\lg \frac{K_2}{1} = 0, \quad K_2 = 1$$

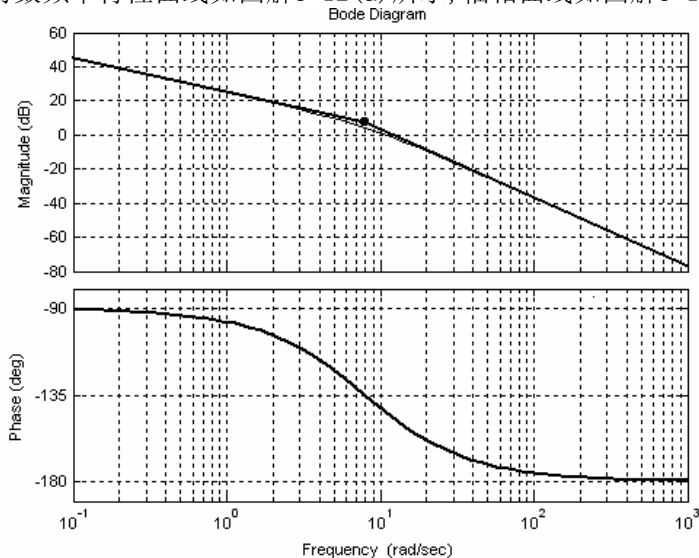
$$(4) \quad \because G_4(s) = \frac{G_1 G_2}{1 + G_2 G_3}$$

$$\text{将 } G_1, G_2, G_3 \text{ 代入得: } G_4(s) = \frac{18}{s(0.125s + 1)}$$

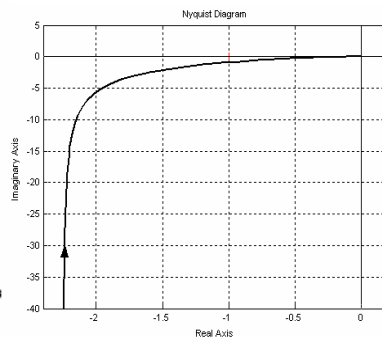
对数频率特性曲线如图解 5-12 (a) 所示，幅相曲线如图解 5-12 (b) 所示：



题 5-12 图

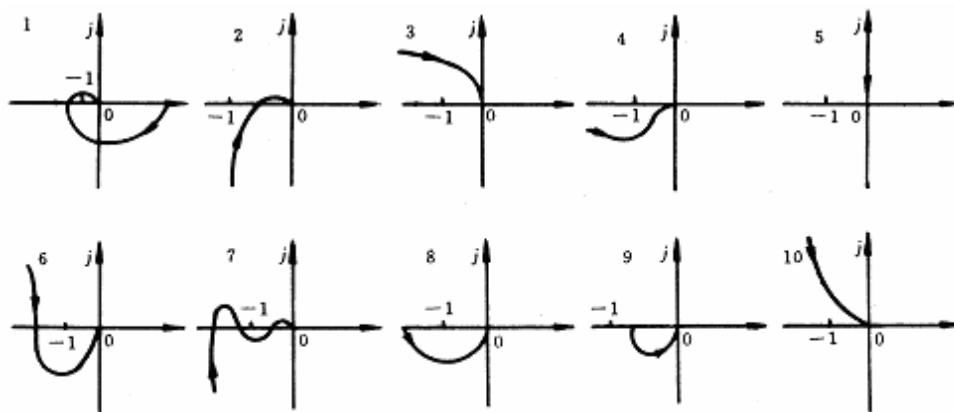


图解 5-12 (a) Bode 图



(b) Nyquist 图

5-13 试根据奈氏判据, 判断题5-13图(1)~(10)所示曲线对应闭环系统的稳定性。已知曲线(1)~(10)对应的开环传递函数分别为(按自左至右顺序)。



题5-13图

解 题5-13计算结果列表

题号	开环传递函数	$P$	$N$	$Z = P - 2N$	闭环稳定性	备注
1	$G(s) = \frac{K}{(T_1s+1)(T_2s+1)(T_3s+1)}$	0	-1	2	不稳定	
2	$G(s) = \frac{K}{s(T_1s+1)(T_2s+1)}$	0	0	0	稳定	
3	$G(s) = \frac{K}{s^2(Ts+1)}$	0	-1	2	不稳定	
4	$G(s) = \frac{K(T_1s+1)}{s^2(T_2s+1)} \quad (T_1 > T_2)$	0	0	0	稳定	
5	$G(s) = \frac{K}{s^3}$	0	-1	2	不稳定	
6	$G(s) = \frac{K(T_1s+1)(T_2s+1)}{s^3}$	0	0	0	稳定	
7	$G(s) = \frac{K(T_5s+1)(T_6s+1)}{s(T_1s+1)(T_2s+1)(T_3s+1)(T_4s+1)}$	0	0	0	稳定	
8	$G(s) = \frac{K}{T_1s-1} \quad (K > 1)$	1	1/2	0	稳定	
9	$G(s) = \frac{K}{T_1s-1} \quad (K < 1)$	1	0	1	不稳定	
10	$G(s) = \frac{K}{s(Ts-1)}$	1	-1/2	2	不稳定	

5-14 已知系统开环传递函数，试根据奈氏判据，确定其闭环稳定的条件：

$$G(s) = \frac{K}{s(Ts+1)(s+1)}; \quad K, T > 0$$

(1)  $T=2$  时,  $K$  值的范围;

(2)  $K=10$  时,  $T$  值的范围;

(3)  $K, T$  值的范围。

$$\text{解 } G(j\omega) = \frac{K}{j\omega(1+j\omega)(1+jT\omega)} = \frac{-K[(1+T)\omega + j(1-T\omega^2)]}{\omega(1+\omega^2)(1+T^2\omega^2)} = X(\omega) + Y(\omega)$$

令  $Y(\omega) = 0$ , 解出  $\omega = \frac{1}{\sqrt{T}}$ , 代入  $X(\omega)$  表达式并令其绝对值小于1

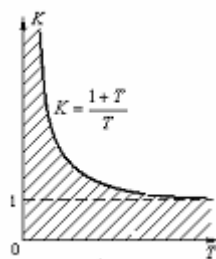
$$\left| X\left(\frac{1}{\sqrt{T}}\right) \right| = \frac{KT}{1+T} < 1$$

得出:  $0 < K < \frac{1+T}{T}$  或  $0 < T < \frac{1}{K-1}$

(1)  $T=2$  时,  $0 < K < \frac{3}{2}$ ;

(2)  $K=10$  时,  $0 < T < \frac{1}{9}$ ;

(3)  $K, T$  值的范围如图解5-14中阴影部分所示。



图解5-14

5-15 已知系统开环传递函数

$$G(s) = \frac{10(s^2 - 2s + 5)}{(s+2)(s-0.5)}$$

试概略绘制幅相特性曲线，并根据奈氏判据判定闭环系统的稳定性。

解 作出系统开环零极点分布图如图解5-15 (a) 所示。 $G(j\omega)$  的起点、终点为：

$$G(j0) = 50 \angle 180^\circ$$

$$G(j\infty) = 10 \angle 0^\circ$$

$G(j\omega)$  与实轴的交点：

$$\begin{aligned} G(j\omega) &= \frac{10(5 - \omega^2 - j2\omega)}{(2 + j\omega)(-0.5 + j\omega)} \\ &= \frac{10[-(5 - \omega^2)(1 + \omega^2) + 3\omega^2 + j\omega(-5.5 + 3.5\omega^2)]}{(1 + \omega^2)^2 + (1.5\omega)^2} \end{aligned}$$

令  $\text{Im}[G(j\omega)] = 0$  可解出

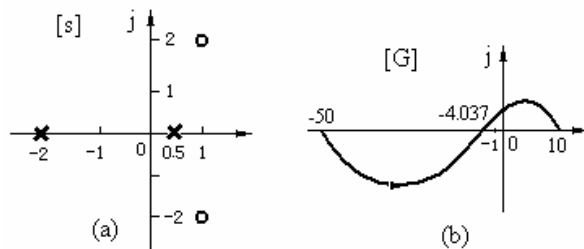
$$\omega_0 = \sqrt{5.5/3.5} = 1.254$$

代入实部  $\operatorname{Re}[G(j\omega_0)] = -4.037$

概略绘制幅相特性曲线如图解5-15 (b) 所示。根据奈氏判据有

$$Z = P - 2N = 1 - 2\left(\frac{-1}{2}\right) = 2$$

所以闭环系统不稳定。

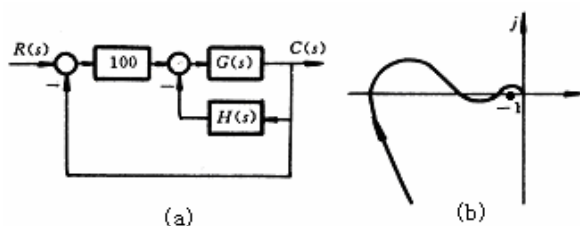


图解5-15

**5-16** 某系统的结构图和开环幅相曲线如题5-16图 (a)、(b) 所示。图中

$$G(s) = \frac{1}{s(1+s)^2}, \quad H(s) = \frac{s^3}{(s+1)^2}$$

试判断闭环系统稳定性，并决定闭环特征方程正实部根个数。



题5-16图

**解** 内回路开环传递函数:  $G_0(s) = G(s)H(s) = \frac{s^2}{(s+1)^4}$

$$G(j0) = 0 \angle 0$$

$$G(j0^+) = 0 \angle 180^\circ$$

$$G(j\infty) = 0 \angle -180^\circ$$

大致画出  $G_0(j\omega)$  的幅相曲线如图解5-16所示。可见  $G_0(j\omega)$  不会包围  $(-1, j0)$  点。

$$\therefore Z_0 = P_0 - 2N_0 = 0 - 2 \times 0 = 0$$

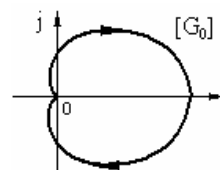
即内回路小闭环一定稳定。内回路小闭环极点（即开环极点）在右半S平面的个数为0。

$$P = Z_0 = 0$$

由题5-16图 (b) 看出: 系统开环频率特性包围  $(-1, j0)$  点的圈数  $N = -1$ 。根据劳斯判据

$$Z = P - 2N = Z_1 - 2N = 0 - 2 \times (-1) = 2$$

系统不稳定，有两个闭环极点在右半S平面。



图解5-16

**5-17 已知系统开环传递函数**

$$G(s) = \frac{10}{s(0.2s^2 + 0.8s - 1)}$$

试根据奈氏判据确定闭环系统的稳定性。

**解** 作出系统开环零点极点分布图如图解5-17(a)所示。

$$G(j\omega) = \frac{10}{j\omega(1 + j0.2\omega)(1 - j\omega)} = \frac{10[0.8\omega - j(1 + 0.2\omega^2)]}{\omega(1 + \omega^2)(1 + 0.04\omega^2)}$$

$G(j\omega)$  的起点、终点为：

$$G(j0) = \infty \angle -180^\circ$$

$$G(j0^+) = \infty \angle -270^\circ$$

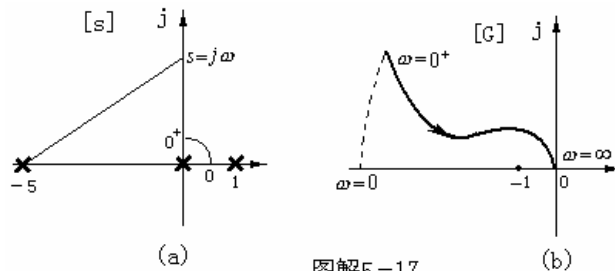
$$G(j\infty) = 0 \angle -270^\circ$$

$$\lim_{\omega \rightarrow 0} \operatorname{Re}[G(j\omega)] = -8$$

幅相特性曲线  $G(j\omega)$  与负实轴无交点。由于惯性环节的时间常数  $T_1 = 0.2$ ，小于不稳定惯性环节的时间常数  $T_2 = 1$ ，故  $\varphi(\omega)$  呈现先增大后减小的变化趋势。绘出幅相特性曲线如图解5-17(b)所示。根据奈氏判据

$$Z = P - 2N = 1 - 2 \times \left(-\frac{1}{2}\right) = 2$$

表明闭环系统不稳定。



图解5-17

**5-18 已知单位反馈系统的开环传递函数，试判断闭环系统的稳定性。**

$$G(s) = \frac{10}{s(s+1)\left(\frac{s^2}{4} + 1\right)}$$

**解** 作出系统开环零点极点分布图如图解5-18(a)所示。当  $\omega = 0 \rightarrow \infty$  变化时， $G(j\omega)$  的变化趋势：



$$G(j0) = \infty \angle 0^\circ$$

$$G(j0^+) = \infty \angle -90^\circ$$

$$G(j2^-) = \infty \angle -153.4^\circ$$

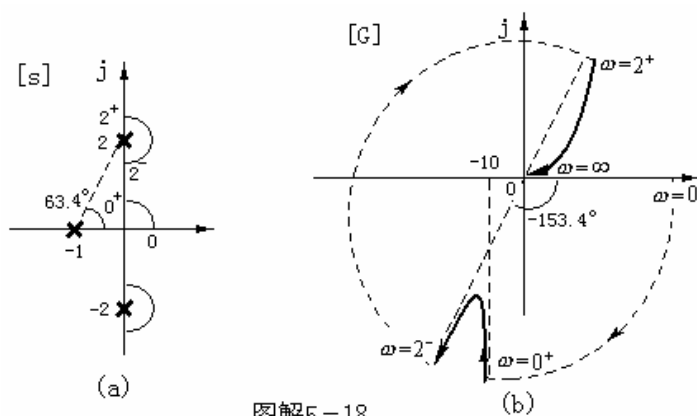
$$G(j2^+) = \infty \angle -333.4^\circ$$

$$G(j\infty) = 0 \angle -360^\circ$$

绘出幅相特性曲线  $G(j\omega)$  如图解5-18(b)所示。根据奈氏判据

$$Z = P - 2N = 0 - 2 \times (-1) = 2$$

表明闭环系统不稳定。



图解5-18

5-19 反馈系统，其开环传递函数为

$$(1) \quad G(s) = \frac{100}{s(0.2s+1)}$$

$$(2) \quad G(s) = \frac{50}{(0.2s+1)(s+2)(s+0.5)}$$

$$(3) \quad G(s) = \frac{10}{s(0.1s+1)(0.25s+1)}$$

$$(4) \quad G(s) = \frac{100(\frac{s}{2}+1)}{s(s+1)(\frac{s}{10}+1)(\frac{s}{20}+1)}$$

试用奈氏判据或对数稳定判据判断闭环系统的稳定性，并确定系统的相角裕度和幅值裕度。

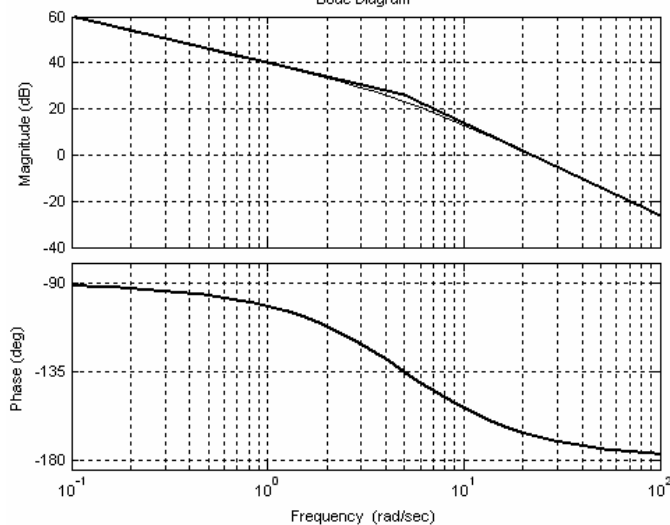
解 (1) 
$$G(s) = \frac{100}{s(0.2s+1)} = \frac{100}{s(\frac{s}{5}+1)}$$

画Bode图得: 
$$\begin{cases} \omega_c = \sqrt{5 \times 100} = 22.36 \\ \omega_g = \infty \end{cases}$$

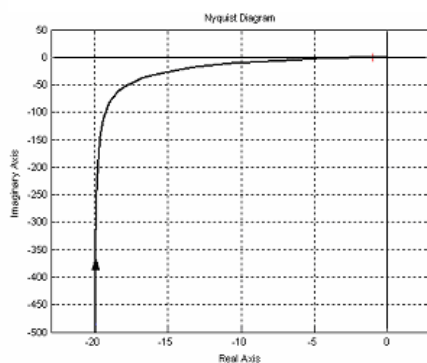
$$\gamma = 180^\circ + \angle G(j\omega) = 180^\circ - 90^\circ - \operatorname{tg}^{-1} 0.2 \omega_c = 12.6^\circ$$

$$h = \frac{1}{|G(\omega_g)|} = \infty$$

Bode Diagram



图解5-19 (1) Bode图



Nyquist图

$$(2) \quad G(s) = \frac{50}{(0.2s+1)(s+2)(s+0.5)} = \frac{50}{(\frac{s}{5}+1)(\frac{s}{2}+1)(2s+1)}$$

画Bode图判定稳定性:  $Z=P-2N=0-2 \times (-1)=2$  系统不稳定。

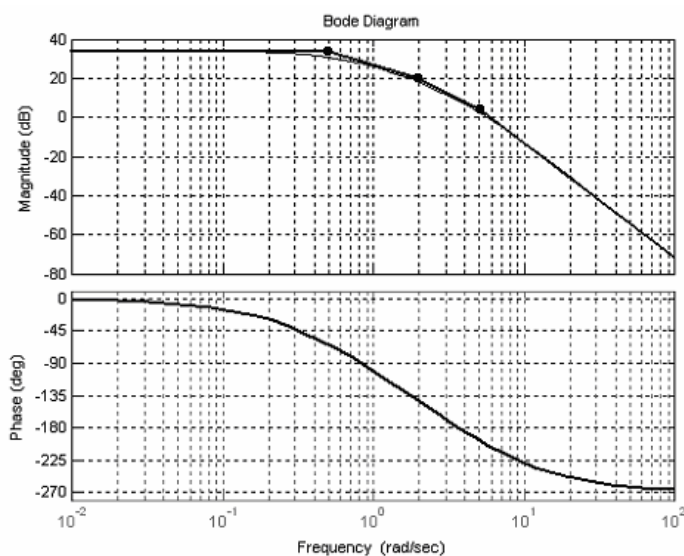
由Bode图得:  $\omega_c > 6$

令:  $|G(j\omega)| = 1 \approx \frac{50}{\frac{\omega_c}{5} \cdot \frac{\omega_c}{2} \cdot 2\omega_c}$  解得  $\omega_c = 6.3$

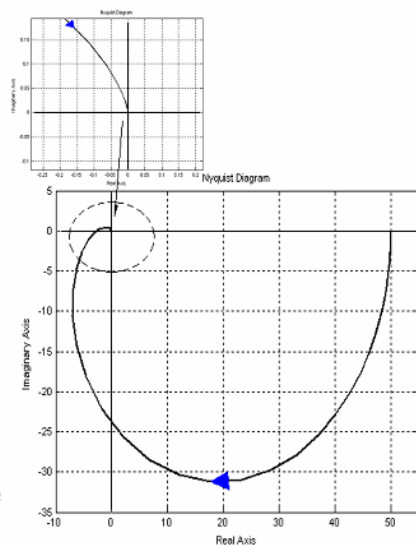
令:  $\angle G(j\omega_g) = \operatorname{tg}^{-1} \frac{\omega_g}{5} - \operatorname{tg}^{-1} \frac{\omega_g}{2} - \operatorname{tg}^{-1} 2\omega_g = -180^\circ$  解得  $\omega_g = 3.7$

$$\gamma = 180^\circ + \angle G(j\omega) = 180^\circ - \operatorname{tg}^{-1} \frac{\omega_c}{5} - \operatorname{tg}^{-1} \frac{\omega_c}{2} - \operatorname{tg}^{-1} 2\omega_c = -29.4^\circ$$

$$h = \frac{1}{|G(\omega_g)|} = \frac{\sqrt{(\frac{\omega_g}{5})^2 + 1} \sqrt{(\frac{\omega_g}{2})^2 + 1} \sqrt{(2\omega_g)^2 + 1}}{50} = 0.391$$



图解5-19 (2) Bode图

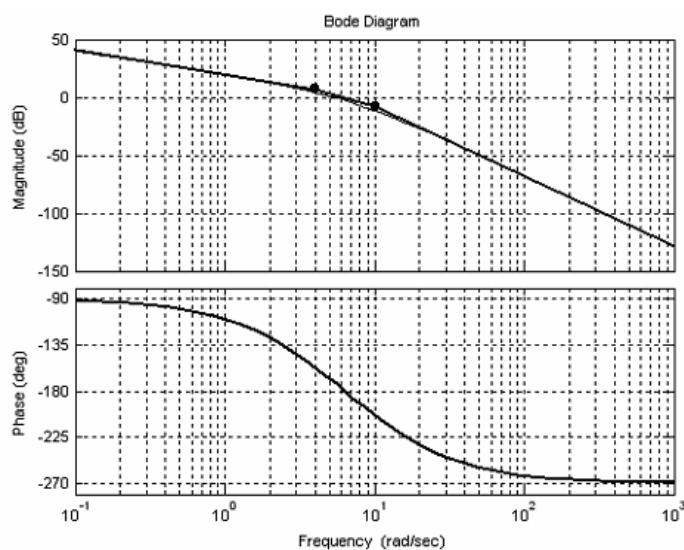


Nyquist图

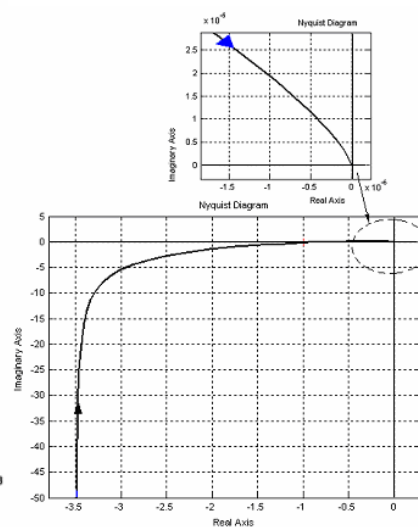
$$(3) \quad G(s) = \frac{10}{s(0.1s+1)(0.25s+1)} = \frac{10}{s(\frac{s}{10}+1)(\frac{s}{4}+1)}$$

$$\text{画Bode图得: } \begin{cases} \omega_c = \sqrt{4 \times 10} = 6.325 \\ \omega_g = \sqrt{4 \times 10} = 6.325 \end{cases} \quad \begin{cases} \gamma = 0^0 \\ h = 1 \end{cases}$$

系统临界稳定。



图解5-19 (3) Bode图



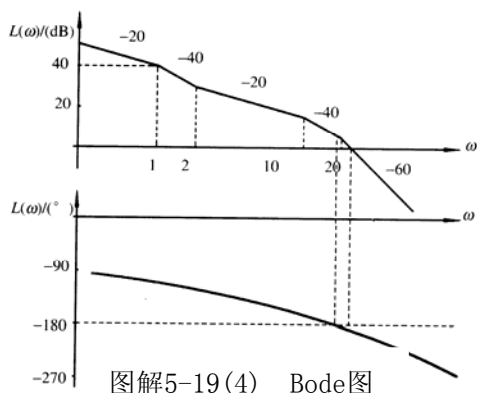
Nyquist图

$$(4) \quad G(s) = \frac{100(\frac{s}{2} + 1)}{s(s+1)(\frac{s}{10} + 1)(\frac{s}{20} + 1)}$$

画Bode图得:

$$\begin{cases} \omega_c = 21.5 \\ \omega_g = 13.1 \\ \gamma = 180^\circ + \angle \varphi(\omega_c) = -24.8^\circ \\ h = 0.343 = -9.3(\text{dB}) \end{cases}$$

系统不稳定。



5-20 设单位反馈控制系统的开环传递函数, 试确定相角裕度为  $45^\circ$  时的  $a$  值。

$$G(s) = \frac{as+1}{s^2}$$

解

$$G(j\omega) = \frac{\sqrt{1+(a\omega)^2}}{\omega^2} \angle (tg^{-1}a\omega - 180^\circ)$$

开环幅相曲线如图所示。以原点为圆心作单位圆, 在 A 点:

$$A(\omega) = \frac{\sqrt{1+a^2\omega_c^2}}{\omega_c^2} = 1$$

即:

$$\omega_c^4 = a^2\omega_c^2 + 1 \quad (1)$$

要求相位裕度

$$\gamma = 180^\circ + \varphi(\omega_c) = 45^\circ$$

即:

$$\varphi(\omega_c) = tg^{-1}a\omega_c - 180^\circ = 45^\circ - 180^\circ = -135^\circ$$

$$\therefore a\omega_c = 1 \quad (2)$$

联立求解 (1)、(2) 两式得:  $\omega_c = 1.19$ ,  $a = 0.84$ 。

5-21 系统中

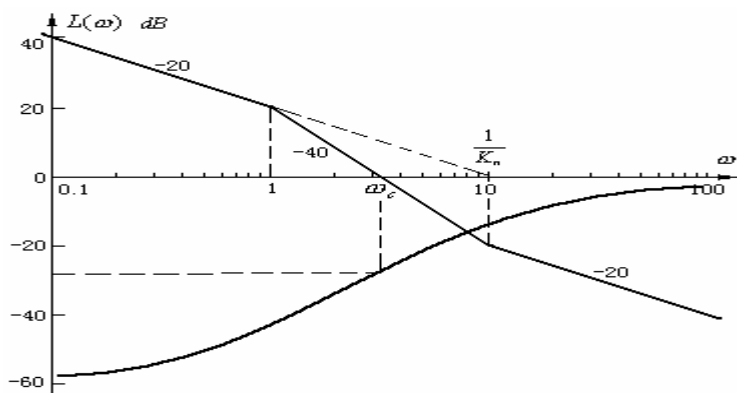
$$G(s) = \frac{10}{s(s-1)}, \quad H(s) = 1 + K_h s$$

试确定闭环系统临界稳定时的  $K_h$ 。

解 开环系统传递函数为

$$G(s)H(s) = \frac{10(1 + K_h s)}{s(s-1)}$$

法(一): 画波特图如图解5-21所示



图解5-21

$$G(j\omega)H(j\omega) = \frac{10(K_n j\omega + 1)}{j\omega(j\omega - 1)}$$

临界稳定时  $\varphi(\omega_c) = -90^\circ - 180^\circ + \operatorname{tg}^{-1} \omega_c + \operatorname{tg}^{-1} K_n \omega_c = -180^\circ$

$$\operatorname{tg}^{-1} \omega_c + \operatorname{tg}^{-1} K_n \omega_c = 90^\circ$$

$$\frac{\omega_c + K_n \omega_c}{1 - \omega_c K_n \omega_c} = \infty$$

$$1 - K_n \omega_c^2 = 0$$

$$K_n = \frac{1}{\omega_c^2}$$

由Bode图  $\omega_c = 3.16$

$$\therefore K_n \approx 0.1$$

法(二)  $\therefore G(j\omega)H(j\omega) = \frac{10(1 + K_n j\omega)}{j\omega(j\omega - 1)} = u(\omega) + jv(\omega)$

$$u(\omega) = \frac{10\omega(1 + K_n)}{-\omega(\omega^2 + 1)} \quad ; \quad v(\omega) = \frac{10(K_n \omega^2 - 1)}{-\omega(\omega^2 + 1)}$$

令  $v(\omega) = 0$  , 则  $10(K_n \omega^2 - 1) = 0 \quad \therefore \omega^2 = 1/K_n$

$$\therefore \omega = \sqrt{\frac{1}{K_n}} \quad (1)$$

又令  $u(\omega) = \frac{10\omega(1 + K_n)}{-\omega(\omega^2 + 1)} = -1$

代入(1)得:  $10(1 + K_n) = \left(\frac{1}{K_n} + 1\right)$

$$10K_n^2 + 9K_n - 1 = 0$$

解出： $K_n = \frac{-9 \pm \sqrt{121}}{20} \quad \therefore K_n = \frac{1}{10}, K_n = -1$ （舍去）。

故当 $\omega = \sqrt{10}$  1/秒， $K_n = 1/10$ 时，系统临界稳定。

5-22 若单位反馈系统的开环传递函数

$$G(s) = \frac{Ke^{-0.8s}}{s+1}$$

试确定使系统稳定的K的临界值。

解  $\therefore G(j\omega) = \frac{K}{1+j\omega} e^{-j0.8\omega}$

幅频特性为  $|G(j\omega)| = \frac{K}{\sqrt{1+\omega^2}}$

相频特性为  $\varphi(\omega) = \angle e^{-j0.8\omega} + \angle \frac{1}{1+j\omega} = -0.8\omega + \operatorname{tg}^{-1}(-\omega)$

求幅相特性通过(-1, j0)点时的K值

即  $|G(j\omega)| = \frac{K}{\sqrt{1+\omega^2}} = 1$  (1)

$\varphi(\omega) = \angle G(j\omega) = -0.8\omega - \operatorname{tg}^{-1}\omega = -\pi$  (2)

由(2)式  $\operatorname{tg}^{-1}\omega = \pi - 0.8\omega$

$\operatorname{tg}(\operatorname{tg}^{-1}\omega) = \operatorname{tg}(\pi - 0.8\omega) = -\operatorname{tg}0.8\omega$

$\therefore \omega = -\operatorname{tg}0.8\omega$

代入(1)： $\frac{K}{\sqrt{1+[\operatorname{tg}(0.8\omega)]^2}} = 1$

$\therefore K = \sqrt{1+[\operatorname{tg}(0.8\omega)]^2} = \sec 0.8\omega$

解出： $\omega_c = 2.45$ ， $K = 2.65$

5-23 设单位反馈系统的开环传递函数

$$G(s) = \frac{5s^2 e^{-\tau s}}{(s+1)^4}$$

试确定闭环系统稳定的延迟时间 $\tau$ 的范围。

解 令  $|G(j\omega)| = \frac{5\omega^2}{(1+\omega^2)^2} = 1$  (1)

$\angle G(j\omega) = 180^\circ - \tau\omega \frac{180}{\pi} - 4\operatorname{tg}^{-1}\omega = 180^\circ$  (2)

由(1)： $1+\omega^2 = \sqrt{5}\omega$

解得： $\omega_1 = 1.618$ ， $\omega_2 = 0.618$ （舍去）

将  $\omega=0.618$  代入 (2) 式:

$$\tau\omega \cdot \frac{180}{\pi} = 360^\circ - 4tg^{-1}\omega$$

解得:  $\tau=1.3686$ , 由图可见: 当  $\tau < 1.3686$  时,  $G(j\omega)$  不包围  $(-1, j0)$  点, 所以  $\tau$  的稳定范围是:

$$0 < \tau < 1.3686$$

**5-24** 某最小相角系统的开环对数幅频特性如题5-24图所示。要求

- (1) 写出系统开环传递函数;
- (2) 利用相角裕度判断系统的稳定性;
- (3) 将其对数幅频特性向右平移十倍频程, 试讨论对系统性能的影响。

解 (1) 由题5-29图可以写出系统开环传递函数如下:

$$G(s) = \frac{10}{s \left( \frac{s}{0.1} + 1 \right) \left( \frac{s}{20} + 1 \right)}$$

(2) 系统的开环相频特性为

$$\varphi(\omega) = -90^\circ - \arctan \frac{\omega}{0.1} - \arctan \frac{\omega}{20}$$

截止频率  $\omega_c = \sqrt{0.1 \times 10} = 1$

相角裕度  $\gamma = 180^\circ + \varphi(\omega_c) = 2.85^\circ$

故系统稳定。

(3) 将其对数幅频特性向右平移十倍频程后, 可得系统新的开环传递函数

$$G(s) = \frac{100}{s(s+1) \left( \frac{s}{200} + 1 \right)}$$

其截止频率  $\omega_{c1} = 10\omega_c = 10$

而相角裕度  $\gamma_1 = 180^\circ + \varphi(\omega_{c1}) = 2.85^\circ = \gamma$

故系统稳定性不变。由时域指标估算公式可得

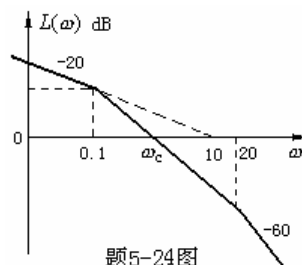
$$\sigma\% = 0.16 + 0.4 \left( \frac{1}{\sin \gamma} - 1 \right) = \sigma_1\%$$

$$t_s = \frac{K_0 \pi}{\omega_c} = \frac{K_0 \pi}{10\omega_{c1}} = 0.1t_{s1}$$

所以, 系统的超调量不变, 调节时间缩短, 动态响应加快。

**5-25** 对于典型二阶系统, 已知参数  $\omega_n = 3$ ,  $\xi = 0.7$ , 试确定截止频率  $\omega_c$  和相角裕度  $\gamma$ 。

解 依题意, 可设系统的开环传递函数为



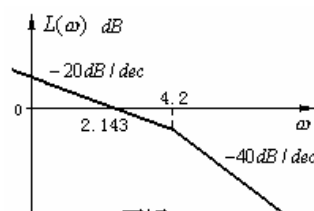
题5-24图

$$G(s) = \frac{\omega_n^2}{s(s+2\xi\omega_n)} = \frac{3^2}{s(s+2 \times 0.7 \times 3)} = \frac{2.143}{s(\frac{s}{4.2} + 1)}$$

绘制开环对数幅频特性曲线  $L(\omega)$  如图解5-25所示, 得

$$\omega_c = 2.143$$

$$\gamma = 180^\circ + \varphi(\omega_c) = 63^\circ$$



图解5-25

5-26 对于典型二阶系统, 已知  $\sigma\% = 15\%$ ,  $t_s = 3\text{ s}$ , 试计算相角裕度  $\gamma$ 。

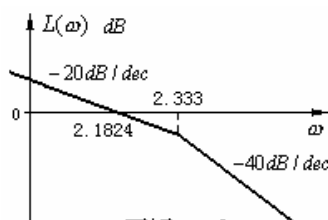
解 依题意, 可设系统的开环传递函数为

$$G(s) = \frac{\omega_n^2}{s(s+2\xi\omega_n)}$$

$$\begin{cases} \sigma\% = 15\% = e^{-\xi\pi/\sqrt{1-\xi^2}} \\ t_s = 3 = 3.5/\xi\omega_n \end{cases}$$

$$\begin{cases} \xi = 0.517 \\ \omega_n = 2.257 \end{cases}$$

$$\text{有 } G(s) = \frac{2.257^2}{s(s+2 \times 0.517 \times 2.257)} = \frac{2.1824}{s(\frac{s}{2.333} + 1)}$$



图解5-26

绘制开环对数幅频特性曲线  $L(\omega)$  如图解5-26所示, 得

$$\omega_c = 2.1824$$

$$\gamma = 180^\circ + \varphi(\omega_c) = 46.9^\circ$$

5-27 一单位反馈系统, 其开环传递函数

$$G(s) = \frac{16.7s}{(0.8s+1)(0.25s+1)(0.0625s+1)}$$

试应用尼柯尔斯图线, 绘制闭环系统对数幅频和相频曲线。

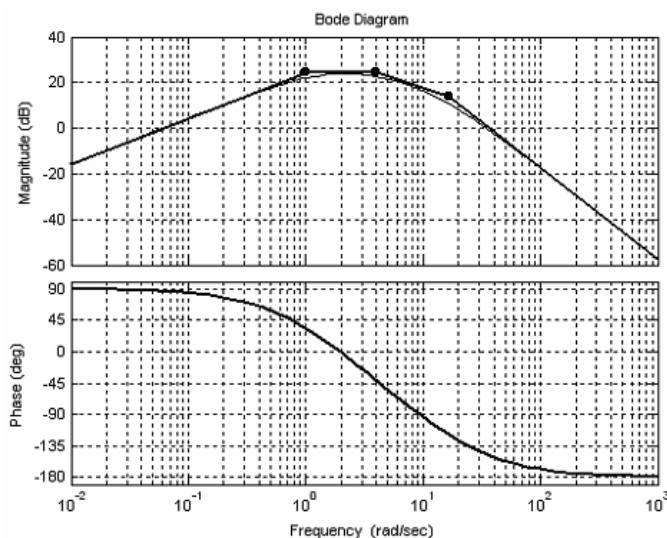
解 由  $G(s)$  知:  $20\lg 16.7 = 24.5\text{ dB}$

$$\text{交接频率: } \omega_1 = \frac{1}{0.8} = 1.25, \quad \omega_2 = \frac{1}{0.25} = 4, \quad \omega_3 = \frac{1}{0.0625} = 16$$

应用尼柯尔斯曲线得:

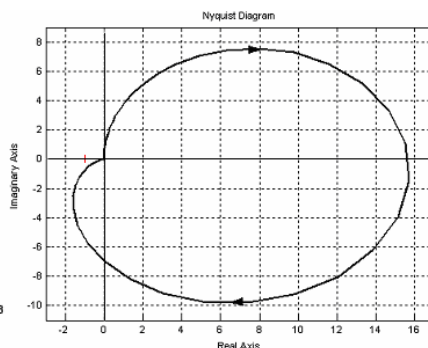
$\omega$	0.01	0.05	0.1	0.3	0.6	3	10	20	30	40	50	60	70	80	100
$ G  \text{ dB}$	-15	-2	4	13	19	24	15	7	2	-3	-7	-10	-13	-16	-20
$\phi(\omega)^\circ$	88	85	83	70	54	-23	-94	-127	-143	-151	-156	-160	-163	-164	-166
M (dB)	-15	-4.5	-2	-0.75	-0.6	-0.5	0	1.8	4.3	2.3	-3.4	-7.5	-11	-16	-20
$\alpha(\omega)^\circ$	69	48	30	12	5	-1	-11	-28	-53	-110	-140	-152	-158	-162	-165





图解5-27

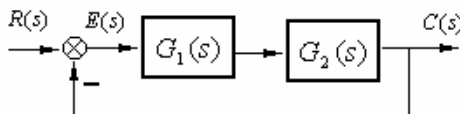
Bode图



Nyquist图

5-28 一控制系统，其结构图如题5-28图所示，图中

$$G_1(s) = \frac{10(1+s)}{1+8s}, \quad G_2(s) = \frac{4.8}{s(1+\frac{s}{20})}$$



题5-28图 某控制系统结构图

试按以下数据估算系统时域指标  $\sigma\%$  和  $t_s$ 。

- (1)  $\gamma$  和  $\omega_c$
- (2)  $M_r$  和  $\omega_c$
- (3) 闭环幅频特性曲线形状

解 (1)  $G(s) = G_1(s)G_2(s) = \frac{48(1+s)}{s(1+8s)(1+\frac{s}{20})}$

$$20 \lg 48 = 33.6 \text{ db}$$

$$\omega_1 = 1/8 = 0.125, \quad \omega_2 = 1, \quad \omega_3 = 20$$

$$\therefore \omega_c = 6, \quad \gamma \approx 65^\circ$$

查图5-55 得  $\sigma\% = 21\%$ ,  $t_s = \frac{6.6}{\omega_c} = 1.13$  秒

(2) 根据  $M_r$ ,  $\omega_c$  估算性能指标

当  $\omega = 5$  时:  $L(\omega) = 0$ ,  $\varphi(\omega) = -111^\circ$

找出:  $M_r = \frac{1}{\sin r} = 1.103, \quad (r = 65^\circ), \quad \omega_c = 6$

查图5-61 得  $\sigma\% = 21\%$ ,  $t_s = \frac{6.8}{\omega_c} = 1.13$  秒

(3) 根据闭环幅频特性的形状

$\omega$	0.3	1	2	3	4	5	6	7	8	9	10
L(db)	36	18	9.5	5	3	0	-2	-4	-5	-7	-20
$\varphi(^{\circ})$	-142.5	-130	-118.5	-114	-111	-111	-112.5	-115.5	-118.5	-124	-148
M(db)	0	0.68	1	1.05	0	1.1	-2.1	-3.3	-4	-5.5	-19.3

令  $M_0 = 1$   $M_r = 1.13$  或  $M_r = 1.05(\text{dB})$

$$f_b = \frac{7}{2\pi}, \quad f_6 = \frac{10}{2\pi}, \quad f_a = \frac{3}{2\pi}, \quad \frac{f_a}{4} = 1.19$$

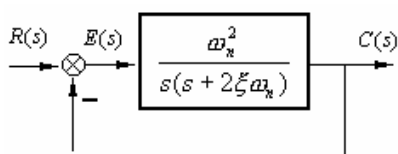
$$N = \frac{M(\frac{f_a}{4})}{M_0} = \frac{1.19}{1} = 1.19$$

$$F = \frac{f_a}{f_6} \cdot \frac{M_r}{M_0} = \frac{7}{10} \cdot \frac{1.13}{1} = 0.79$$

$$\sigma\% = [41 \text{Ln}(NF) + 17]\% = 10\%$$

$$t_s = \frac{2.16F - 0.4}{f_a} = 0.6 \text{ 秒}$$

5-29 已知控制系统结构图如题5-29图所示。当输入  $r(t) = 2 \sin t$  时，系统的稳态输出  $c_s(t) = 4 \sin(t - 45^\circ)$ 。试确定系统的参数  $\xi, \omega_n$ 。



题5-29图 系统结构图

解 系统闭环传递函数为

$$\Phi(s) = \frac{\omega_n^2}{s^2 + 2\xi\omega_n s + \omega_n^2}$$

令  $|\Phi(j1)| = \frac{\omega_n^2}{\sqrt{(\omega_n^2 - \omega^2)^2 + 4\xi^2\omega_n^2}} = \frac{4}{2} = 2$

$$\angle\Phi(j1) = -\arctan \frac{2\xi\omega_n}{\omega_n^2 - 1} = -45^\circ$$

联立求解可得  $\omega_n = 1.244$ ,  $\xi = 0.22$ 。

$$t_s = \frac{K_0 \pi}{\omega_c} = \frac{K_0 \pi}{10 \omega_{c1}} = 0.1 t_{s1}$$

所以, 系统的超调量不变, 调节时间缩短, 动态响应加快。

**5-30** 某高阶系统, 要求时域指标  $\sigma = 18\%$ ,  $t_s = 0.05 \text{ s}$ , 试将其转换成频域指标。

**解** 根据近似经验公式

$$\sigma \% = 0.16 + 0.4 \left( \frac{1}{\sin \gamma} - 1 \right)$$

$$t_s = \frac{K_0 \pi}{\omega_c}$$

$$K_0 = 2 + 1.5 \left( \frac{1}{\sin \gamma} - 1 \right) + 2.5 \left( \frac{1}{\sin \gamma} - 1 \right)^2$$

代入要求的时域指标可得

$$\frac{1}{\sin \gamma} = \frac{1}{0.4} (\sigma \% - 0.16) + 1 = 1.5$$

$$\gamma = 41.8^\circ$$

$$K_0 = 3.375$$

$$\omega_c = \frac{K_0 \pi}{t_s} = 212.1 \text{ (rad/s)}$$

所求的频域指标为  $\gamma = 41.8^\circ$ ,  $\omega_c = 212.1$ 。

**5-31** 单位反馈系统的闭环对数幅频特性如题5-31图所示。若要求系统具有  $30^\circ$  的相角裕度, 试计算开环增益应增大的倍数。

**解** 由题5-31图写出闭环系统传递函数

$$\Phi(s) = \frac{1}{(s+1) \left( \frac{s}{1.25} + 1 \right) \left( \frac{s}{5} + 1 \right)}$$

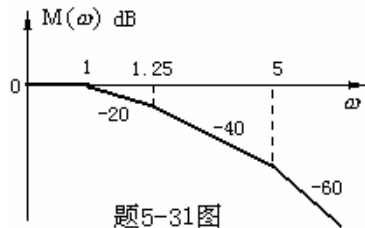
系统等效开环传递函数

$$G(s) = \frac{\Phi(s)}{1 - \Phi(s)} = \frac{6.25}{s(s+2.825)(s+4.425)} = \frac{0.5}{s \left( \frac{s}{2.825} + 1 \right) \left( \frac{s}{4.425} + 1 \right)} \quad \text{可}$$

知原系统开环增益  $K = 0.5$ 。

$$\text{令相角裕度} \quad \gamma = 180^\circ + \varphi(\omega_{c1}) = 90^\circ - \arctan \frac{\omega_{c1}}{2.825} - \arctan \frac{\omega_{c1}}{4.425} = 30^\circ$$

$$\text{有} \quad \frac{\frac{\omega_{c1}}{2.825} + \frac{\omega_{c1}}{4.425}}{1 - \frac{\omega_{c1}^2}{12.5}} = \tan 60^\circ = 1.732$$



整理可得  $\omega_{c1}^2 + 4.186\omega_{c1} - 12.5 = 0$

解出  $\omega_{c1} = 2.02 = K_1$

所以应增大的放大倍数为  $K_1/K = 2.02/0.5 = 4.04$ 。

5-32 设有单位反馈的火炮指挥仪伺服系统，其开环传递函数为

$$G(s) = \frac{K}{s(0.2s+1)(0.5s+1)}$$

若要求系统最大输出速度为  $2(r/min)$ ，输出位置的容许误差小于  $2^\circ$ ，试求：

(1) 确定满足上述指标的最小  $K$  值，计算该  $K$  值下系统的相角裕度和幅值裕度；

(2) 在前向通路中串接超前校正网络

$$G_c(s) = \frac{0.4s+1}{0.08s+1}$$

计算校正后系统的相角裕度和幅值裕度，说明超前校正对系统动态性能的影响。

解 (1) 确定满足  $C_{Max} = 2$  (转/分)  $= 12^\circ/\text{秒}$  和  $e_{ss} \leq 2^\circ$  的  $K$ ， $\gamma$ ， $h$ ：

$$K = K_v = \frac{C_{Max}}{e_{ss}} \geq 6 \text{ (1/秒)}$$

$$G(s) = \frac{6}{s(0.2s+1)(0.5s+1)}$$

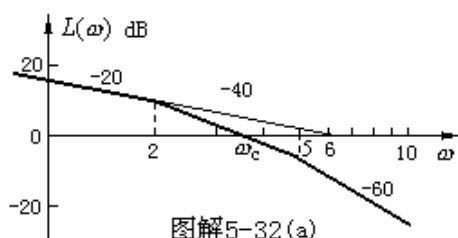
作系统对数幅频特性曲线如图解5-32(a)所示：

由图可知  $\omega_c = \sqrt{2 \times 6} = 3.46$

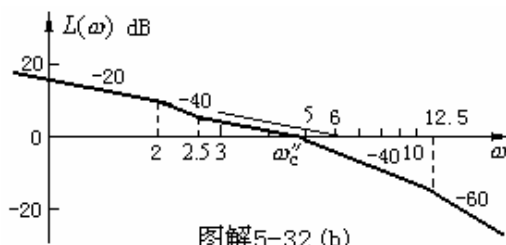
$$\gamma' = 90^\circ - \arctg 0.2\omega_c' - \arctg 0.5\omega_c' = -3.8^\circ$$

算出相角交界频率  $\omega_g' = 3.2$

$$20\lg h' = -1(\text{dB})$$



图解5-32(a)



图解5-32(b)

(2) 超前校正后系统开环传递函数为

$$G_c(s)G(s) = \frac{6(0.4s+1)}{s(0.08s+1)(0.2s+1)(0.5s+1)}$$

作校正后系统对数幅频特性曲线如图解5-32(b)所示，由图得：

$$\frac{6}{\omega_c''} = \frac{2.5}{2}, \quad \omega_c'' = \frac{6 \times 2}{2.5} = 4.8$$

$$\gamma'' = 90^\circ + \arctg 0.4 \omega_c'' - \arctg 0.2 \omega_c'' - \arctg 0.08 \omega_c'' - \arctg 0.5 \omega_c'' = 22.5^\circ$$

算出  $\omega_g'' = 7.3$ ,  $h'' = 2.371$ ,  $20 \lg h'' = 7.5 \text{ dB}$ 。

说明超前校正可以增加相角裕度, 从而减小超调量, 提高系统稳定性; 同时增大了截止频率, 缩短调节时间, 提高了系统的快速性。

5-33 设单位反馈系统的开环传递函数  $G(s) = \frac{K}{s(s+1)}$

试设计一串联超前校正装置, 使系统满足如下指标:

- (1) 在单位斜坡输入下的稳态误差  $e_{ss} < 1/15$ ;
- (2) 截止频率  $\omega_c \geq 7.5 \text{ (rad/s)}$ ;
- (3) 相角裕度  $\gamma \geq 45^\circ$ 。

解 依  $e_{ss}$  指标:  $e_{ss} = \frac{1}{K_v} = \frac{1}{K} = \frac{1}{15}$

$\therefore K = 15$

画未校正系统的开环对数幅频特性如图5-33所示。

依Bode图 (幅频), 得:  $\omega_c = \sqrt{15} = 3.873$

校正前系统相角裕度:

$$\begin{aligned} \gamma &= 180^\circ + \angle G(j\omega_c) = 180^\circ - 90^\circ - \arctan \omega_c \\ &= 90^\circ - \arctan 3.873 = 14.48^\circ \end{aligned}$$

定  $\omega_c'' = 7.5$ , 作图得:

$$b = 11.48 \text{ dB} \quad (AB = 11.5 \text{ dB})$$

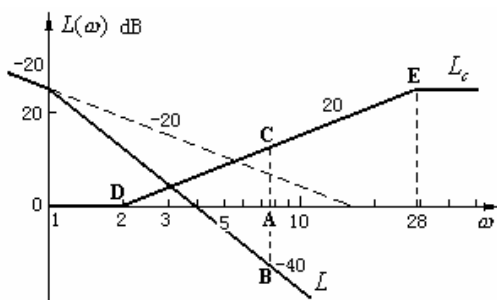
作图使:  $AC = AB = 11.5 \text{ dB}$ , 过C点作  $20 \text{ dB/dec}$  直线交出D点 ( $\omega_D = 2$ ), 令 ( $DC = CE$ ) 得E点 ( $\omega_E = 28.125$ )。这样得出超前校正环节传递函数:

$$G_c(s) = \frac{\frac{s}{28.125} + 1}{\frac{s}{2} + 1}$$

且有:  $\omega_m = \omega_c'' = 7.5$

校正后系统开环传递函数为:

$$G_c(s) \cdot G(s) = \frac{\frac{s}{28.125} + 1}{\frac{s}{2} + 1} \cdot \frac{15}{s(s+1)}$$



图解5-33

验算：在校正过程可保证：

$$e_{ss} = \frac{1}{K_v} = \frac{1}{15}$$

$$\omega_c'' = 7.5(\text{rad/s})$$

$$\gamma'' = 180^\circ - \angle G_c(\omega_c'')G(\omega_c'')$$

$$= 180^\circ - 90^\circ + \arctg \frac{\omega_c''}{2} - \arctg \frac{\omega_c''}{28.125} - \arctg \omega_c'' = 67.732^\circ > 45^\circ$$

全部指标满足要求。

5-34 设单位反馈系统的开环传递函数

$$G(s) = \frac{K}{s(s+1)(0.25s+1)}$$

要求校正后系统的静态速度误差系数  $K_v \geq 5(\text{rad/s})$ ，相角裕度  $\gamma \geq 45^\circ$ ，试设计串联迟后校正装置。

解

$$G(s) = \frac{K}{s(s+1)\left(\frac{s}{4}+1\right)} \quad (\text{I型系统})$$

取

$$K = K_v = 5$$

校正前

$$\omega_c = \sqrt{5} = 2.236$$

$$\gamma = 180^\circ + \varphi(\omega_c) = -5.12^\circ \quad (\text{系统不稳定})$$

采用串联迟后校正。试探  $\omega_c'$ ，使  $\gamma' = 45^\circ + 5^\circ = 50^\circ$

取  $\omega_1 = 0.8$

$$\gamma(0.8) = 180^\circ + \varphi(0.8) = 40.03^\circ$$

取  $\omega_2 = 0.5$

$$\gamma(0.5) = 180^\circ + \varphi(0.5) = 56.3^\circ$$

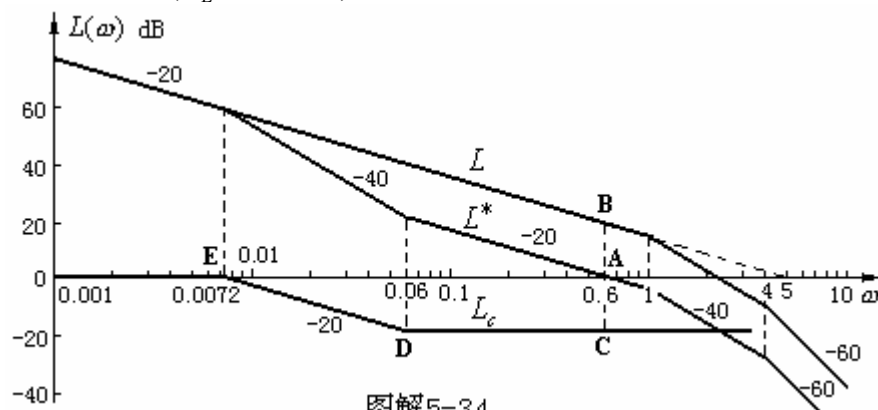
取  $\omega_3 = 0.6$

$$\gamma(0.6) = 180^\circ + \varphi(0.6) = 50.57^\circ$$

取

$$\omega_c' = \omega_3 = 0.6$$

过  $\omega_c' = 0.6$  作  $\overline{BC}$ ，使  $\overline{AC} = \overline{BA}$ ；过画水平线定出  $D$  ( $\omega_D = 0.1 \times \omega_c' = 0.06$ )；过  $D$  作 -20dB/dec 线交 0dB 线于  $E$  ( $\omega_E = 0.0072$ )。可以定出校正装置的传递函数



图解5-34

$$G_c(s) = \frac{\frac{s}{\omega_D} + 1}{\frac{s}{\omega_E} + 1} = \frac{\frac{s}{0.06} + 1}{\frac{s}{0.0072} + 1}$$

$$\text{校正后系统开环传递函数 } G_c(s) \cdot G(s) = \frac{5(\frac{s}{0.06} + 1)}{s(s+1)(\frac{s}{4} + 1)(\frac{s}{0.0072} + 1)}$$

$$\text{验算: } \gamma' = 180^\circ + \angle G_c(j\omega_c')G(j\omega_c') = 45.56^\circ > 45^\circ$$

**5-35** 设单位反馈系统的开环传递函数为

$$G(s) = \frac{40}{s(0.2s+1)(0.0625s+1)}$$

(1) 若要求校正后系统的相角裕度为 $30^\circ$ ，幅值裕度为 $10 \sim 12$ (dB)，试设计串联超前校正装置；

(2) 若要求校正后系统的相角裕度为 $50^\circ$ ，幅值裕度为 $30 \sim 40$ (dB)，试设计串联迟后校正装置。

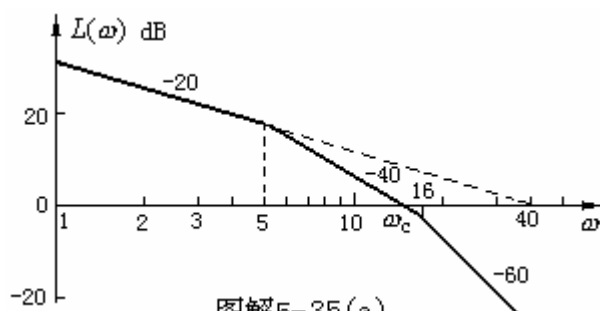
$$\text{解 } G(s) = \frac{40}{s(0.2s+1)(0.0625s+1)} = \frac{40}{s(\frac{s}{5}+1)(\frac{s}{16}+1)}$$

(1) 依题作图未校正系统的对数幅频特性曲线如图解5-35(a)所示  
校正前:

$$\omega_c = \sqrt{5 \times 40} = 14.14,$$

$$\gamma = 90^\circ - \arctg \frac{\omega_c}{5} - \arctg \frac{\omega_c}{16} = -22^\circ \quad (\text{系统不稳定})$$

$$\varphi_m = \gamma'' - \gamma + 10^\circ = 30^\circ - (-22^\circ) + 10^\circ = 62^\circ$$



超前校正后截止频率 $\omega_c''$ 大于原系统 $\omega_c = 14.14$ ，而原系统在 $\omega = 16$ 之后相角下降很快，用一级超前网络无法满足要求。

(2) 设计迟后校正装置

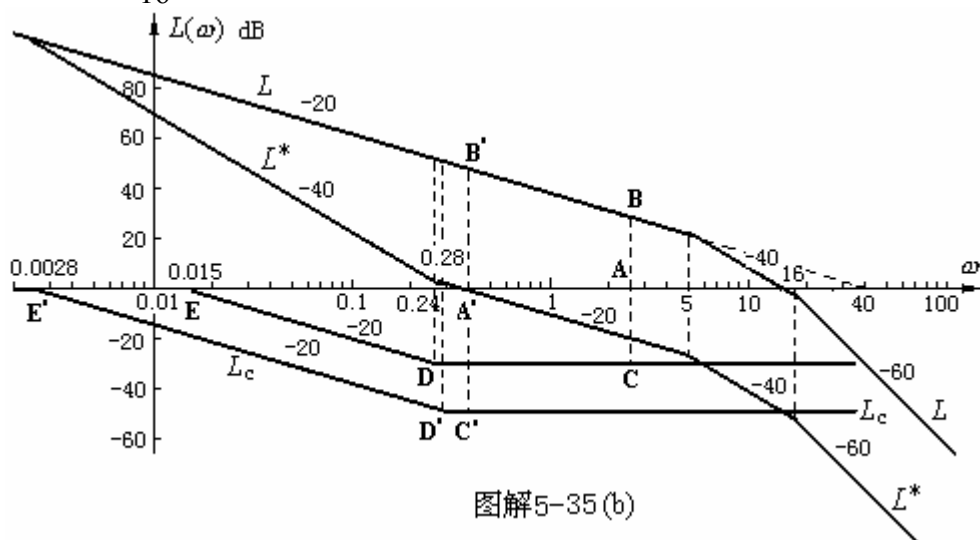
$$\gamma = \gamma'' + 5^\circ = 55^\circ$$

经试算在  $\omega = 2.4$  处有  $\gamma(2.4) = 55.83^\circ$

$\therefore$  取  $\omega_c'' = 2.4$

对应  $|G(\omega_c'')| = 20 \left( \lg \frac{40}{2.4} \right) = 24.436$

在  $\omega_c'' = 2.4$  以下 24.436dB 画水平线, 左延 10dec 到对应  $\omega = 0.24$  处, 作  $-20\text{dB/dec}$  线交 0dB 线到 E:  $\omega_E = \frac{0.24}{16} = 0.015$ , 因此可得出迟后校正装置传递函数:



图解5-35(b)

$$\therefore G_c(s) = \frac{\frac{s}{0.24} + 1}{\frac{s}{0.015} + 1}$$

$$G_c(s) \cdot G(s) = \frac{40 \left( \frac{s}{0.24} + 1 \right)}{s \left( \frac{s}{5} + 1 \right) \left( \frac{s}{16} + 1 \right) \left( \frac{s}{0.015} + 1 \right)}$$

$$\begin{aligned} \gamma'' &= 90^\circ + \arctan \frac{2.4}{0.24} - \arctan \frac{2.4}{5} - \arctan \frac{2.4}{16} - \arctan \frac{2.4}{0.015} \\ &= 90^\circ + 84.29^\circ - 25.64^\circ - 8.53^\circ - 89.642^\circ = 50.48^\circ \approx 50^\circ \end{aligned}$$

试算:  $\omega_g'' = 8.6$

由Bode图:

$$h = 20 \lg |G_c(\omega_g'') G(\omega_g'')| = -20 \lg \frac{40 \times 35.8}{8.6 \times 1.99 \times 1.29 \times 573.33} = 18.9 \text{ dB} < 30 \text{ dB}$$

幅值裕度  $h$  不满足要求。为增加  $h$ , 应将高频段压低。重新设计: 使滞后环节高频段幅值衰减 40dB ( $\omega_g \approx 8.9$ )。求对应  $20 \lg |G(\omega_c''')| = 40 \text{ dB}$  处的  $\omega_c'''$



$$\frac{L(\omega_c'')}{\lg 40 - \lg \omega_1''} = \frac{40}{\lg \frac{40}{\omega_c''}} = 20$$

$$\frac{40}{\omega_c'''} = 10^2 = 100, \quad \therefore \omega_c''' = 0.4$$

$$\gamma(0.4) = 90^\circ - \arctan \frac{0.4}{5} - \arctan \frac{0.4}{16} = 84^\circ$$

查惯性环节表, 在  $0.7\omega_c''' = 0.28$  处:  $\varphi \approx -34^\circ$

$$84^\circ - 34^\circ = 50^\circ$$

以  $-20\text{dB}/\text{dec}$  交  $0\text{dB}$  线于 E: ( $\omega_E = 0.0028$ ), 得出滞后校正装置传递函数:

$$G_c(s) = \frac{\frac{s}{0.28} + 1}{\frac{s}{0.0028} + 1}$$

$$\text{在 } \omega_c''' = 0.4 \text{ 处: } \begin{cases} \gamma_c = \arctan \frac{0.4}{0.28} - \arctan \frac{0.4}{0.0028} = -34.59^\circ \\ L_c = 20\lg|G_c| = 20\lg \frac{1.744}{142.86} = -38.27\text{dB} \end{cases}$$

$$G_c(s)G(s) = \frac{40\left(\frac{s}{0.28} + 1\right)}{s\left(\frac{s}{5} + 1\right)\left(\frac{s}{16} + 1\right)\left(\frac{s}{0.0028} + 1\right)}$$

验算:  $\omega_g''' = 8.6$

$$h = -20\lg|G_c G(\omega_g''')| = -20\lg \left| \frac{40 \times 30.73}{8.6 \times 1.99 \times 1.1353 \times 3071.5} \right| = 33.7\text{dB}$$

$$\gamma = 180^\circ - \angle G_c G(0.4) = 180^\circ - 90^\circ + \arctan \frac{0.4}{0.28} - \arctan \frac{0.4}{5} - \arctan \frac{0.4}{16} - \arctan \frac{0.4}{0.0028}$$

$$= 90^\circ + 55^\circ - 4.57^\circ - 1.432^\circ - 89.6^\circ \approx 50^\circ \quad (\text{满足要求})$$

$$\text{因此确定: } G_c(s) = \frac{\frac{s}{0.28} + 1}{\frac{s}{0.0028} + 1} = \frac{3.57s + 1}{357s + 1}$$

5-36 设单位反馈系统的开环传递函数

$$G(s) = \frac{K}{s(s+1)(0.25s+1)}$$

要求校正后系统的静态速度误差系数  $K_v \geq 5$  (rad/s)，截止频率  $\omega_c \geq 2$  (rad/s)，相角裕度  $\gamma \geq 45^\circ$ ，试设计串联校正装置。

**解** 在  $\omega = 2$  以后，系统相角下降很快，难以用超前校正补偿；迟后校正也不能奏效，故采用迟后-超前校正方式。根据题目要求，取

$$\omega'_c = 2, \quad K = K_v = 5$$

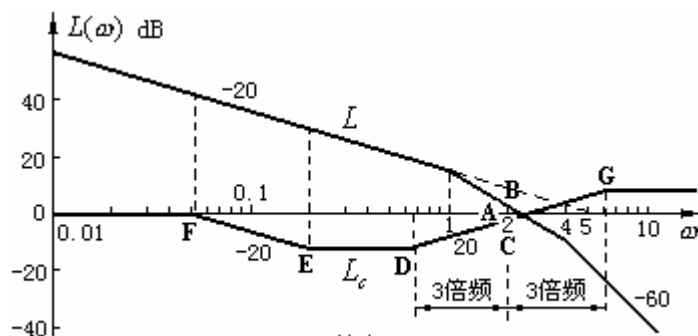
原系统相角裕度

$$\gamma = 180^\circ + \angle G(j\omega'_c) = 180^\circ - \arctan 2 - \arctan \frac{2}{4} - 90^\circ = 0^\circ$$

最大超前角

$$\varphi_m = \gamma'' - \gamma + 5^\circ = 45^\circ - 0^\circ + 5^\circ = 50^\circ$$

查教材图5-65(b) 得:  $a \approx 8, \quad 10 \lg a \approx 9 \text{ dB}$



图解5-36

过  $\omega'_c = 2$  作  $\overline{BC}$ ，使  $\overline{BA} = \overline{AC}$ ；过  $C$  作  $20 \text{ dB/dec}$  线并且左右延伸各3倍频程，定出  $D$ 、 $G$ ，进而确定  $E$ 、 $F$  点。各点对应的频率为：

$$\omega^* = \frac{\omega_c^2}{2} = \frac{\sqrt{5}^2}{2} = 2.5$$

$$\omega_E = 0.1\omega'_c = 0.1 \times 2 = 0.2$$

$$\omega_F = \omega_E \frac{\omega_D}{\omega^*} = 0.2 \times \frac{0.67}{2.5} = 0.0536$$

$$\omega_G = \omega'_c \times 3 = 6$$

有

$$G_c(s) = \frac{\left(\frac{s}{0.2} + 1\right)\left(\frac{s}{0.67} + 1\right)}{\left(\frac{s}{0.0536} + 1\right)\left(\frac{s}{6} + 1\right)}$$

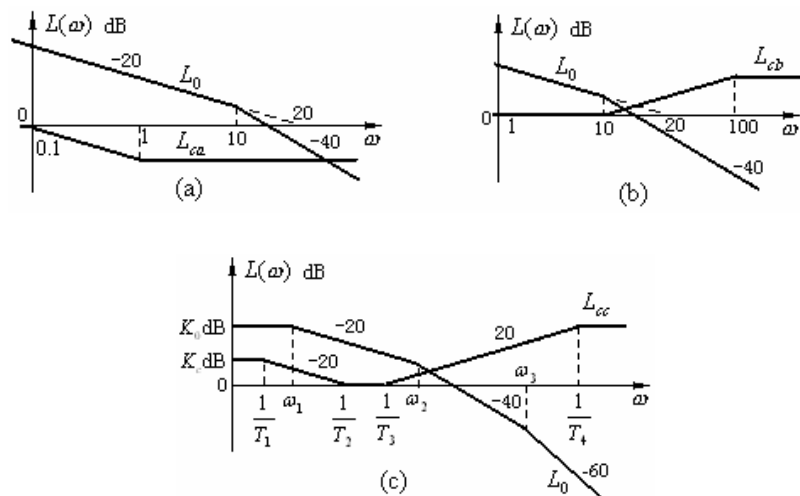
$$G_c(s)G(s) = \frac{5\left(\frac{s}{0.2} + 1\right)\left(\frac{s}{0.67} + 1\right)}{s(s+1)\left(\frac{s}{4} + 1\right)\left(\frac{s}{0.0536} + 1\right)\left(\frac{s}{6} + 1\right)}$$

验算:  $\gamma = 180^\circ + G_c(j\omega'_c)G(j\omega'_c)$

$$= \arctan \frac{2}{0.2} + \arctan \frac{2}{0.67} - \arctan \frac{2}{0.0536} - \arctan \frac{2}{6} = 48.87^\circ > 45^\circ$$

5-37 已知一单位反馈控制系统，其被控对象 $G_0(s)$ 和串联校正装置 $G_c(s)$ 的对数幅频特性分别如题5-37图(a)、(b)和(c)中 $L_0$ 和 $L_c$ 所示。要求：

- (1) 写出校正后各系统的开环传递函数；
- (2) 分析各 $G_c(s)$ 对系统的作用，并比较其优缺点。



题5-37图

解 (a) 未校正系统开环传递函数为

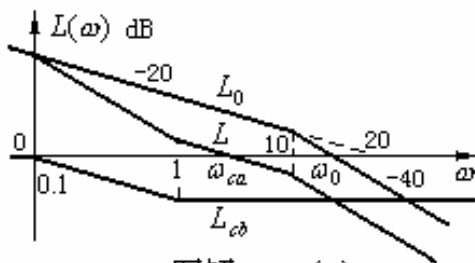
$$G_0(s) = \frac{20}{s\left(\frac{s}{10} + 1\right)}$$

$$\omega_{c0} = \sqrt{10 \times 20} = 14.14$$

$$\gamma_0 = 180^\circ + \varphi_0(\omega_{c0}) = 180^\circ - 90^\circ - \arctan \frac{14.14}{10} = 35.26$$

采用迟后校正后

$$G_{ca}(s) = \frac{s+1}{10s+1}$$



图解5-37(a)

$$G(s) = G_{ca}(s) \cdot G_0(s) = \frac{20(s+1)}{s(\frac{s}{10}+1)(\frac{s}{0.1}+1)}$$

画出校正后系统的开环对数幅频特性如图解5-37(a)所示。

有  $\frac{20}{\omega_{ca}} = \frac{1}{0.1}, \quad \omega_{ca} = 2$

$$\gamma_a = 180^\circ + \varphi_a(\omega_{ca}) = 55^\circ$$

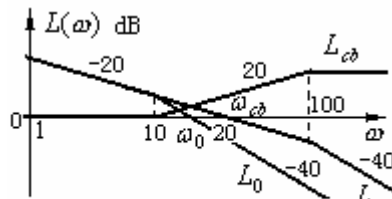
可见  $\begin{cases} \gamma_a = 55^\circ > \gamma_0 = 35.26^\circ & \text{稳定性增强, } \sigma\% \text{ 减小;} \\ \omega_{ca} = 2 < \omega_{c0} = 14.14 & \text{响应变慢;} \\ \text{高频段被压低} & \text{抗高频干扰能力增强。} \end{cases}$

(b) 未校正系统频率指标同(a)。采用超前校正后

$$G_{cb}(s) = \frac{\frac{s}{10} + 1}{\frac{s}{100} + 1}$$

$$G(s) = G_{cb}(s) \cdot G_0(s) = \frac{\frac{s}{10} + 1}{\frac{s}{100} + 1} \cdot \frac{20}{s(\frac{s}{10} + 1)} = \frac{20}{s(\frac{s}{100} + 1)}$$

画出校正后系统的开环对数幅频特性如图解5-37(b)所示。



图解5-37(b)

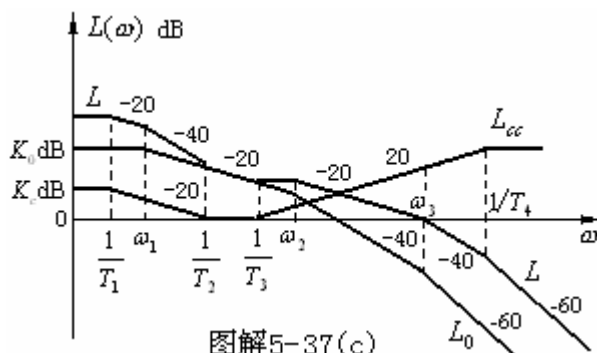
可见  $\begin{cases} \omega_{cb} = 20 > \omega_{c0} = 14.14 & \text{响应速度加快;} \\ \gamma_b = 180^\circ + \varphi_b(\omega_{cb}) = 78.7^\circ > \gamma_0 = 35.26^\circ & \sigma\% \text{ 减小;} \\ \text{高频段被抬高} & \text{抗高频干扰能力下降。} \end{cases}$

(c) 校正前系统的开环传递函数为

$$G_0(s) = \frac{10^{\frac{K_0}{20}}}{(\frac{s}{\omega_1} + 1)(\frac{s}{\omega_2} + 1)(\frac{s}{\omega_3} + 1)}$$

$$G_c(s) = \frac{10^{\frac{K_c}{20}} (T_2 s + 1)(T_3 s + 1)}{(T_1 s + 1)(T_4 s + 1)}$$

$$G_3(s) = G \cdot G_c = \frac{10^{\frac{K_0 + K_c}{20}} (T_2 s + 1)(T_3 s + 1)}{(T_1 s + 1)(T_4 s + 1) \left(\frac{s}{\omega_1} + 1\right) \left(\frac{s}{\omega_2} + 1\right) \left(\frac{s}{\omega_3} + 1\right)}$$



图解5-37(c)

画出校正后系统的开环对数幅频特性，可见采用串联滞后—超前校正后

低频段被抬高	阶跃作用下的稳态误差减小；
中频段 $\omega_{cc} \uparrow, \gamma \uparrow$	动态性能得到改善；
高频段被抬高	抗高频干扰的能力下降。

**5-38** 设单位反馈系统的开环传递函数

$$G(s) = \frac{K}{s(s+3)(s+9)}$$

(1) 如果要求系统在单位阶跃输入作用下的超调量  $\sigma\% = 20\%$ ，试确定  $K$  值；

(2) 根据所求得的  $K$  值，求出系统在单位阶跃输入作用下的调节时间  $t_s$ ，以及静态速度误差系数  $K_v$ ；

(3) 设计一串联校正装置，使系统的  $K_v \geq 20$ ， $\sigma\% \leq 17\%$ ， $t_s$  减小到校正前系统调节时间的一半以内。

(1) 由式(5-81)： $\sigma = 0.16 + 0.4(M_r - 1)$

$$M_r = \frac{\sigma - 0.16}{0.4} + 1 = \frac{0.2 - 0.16}{0.4} + 1 = 1.1 \quad (1)$$

由(6-8)， $M_r = \frac{1}{\sin \gamma}$

$$\gamma = \arcsin \frac{1}{M_r} = 65.4^\circ \quad (2)$$

$$\text{又 } \because \gamma = 180^\circ - \angle G(j\omega_c) = 180^\circ - 90^\circ - \arctan \frac{\omega}{3} - \arctan \frac{\omega}{9} \quad (3)$$

式(2)、(3)联立:

$$\arctan \frac{\omega_c}{5} + \arctan \frac{\omega_c}{9} = 90^\circ - 65.4^\circ = 24.6^\circ$$

$$\operatorname{tg} 24.6^\circ \cdot [27 - \omega_c^2] = 12\omega_c$$

$$\omega_c^2 + 26.21\omega_c - 27 = 0$$

解出:  $\omega_c = 1$ , ( $\omega_c = 2.72$  舍去)

$$\therefore \text{开环增益 } K_0 = \frac{K}{3 \times 9} = \omega_c = 1$$

$$\therefore K = 27$$

$$(2) \text{ 依式 (5-82): } t_s = \frac{[2 + 1.5(M_r - 1) + 2.5(M_r - 1)^2]\pi}{\omega_c} = 6.76$$

$$\text{依题有: } K_v = K_0 = 1$$

(3) 依题要求

$$K_v = \frac{K}{27} \geq 20 \quad K \geq 540$$

$$\sigma\% \leq 0.15 \approx 0.16^{(6-9)} = 0.16 + 0.4\left(\frac{1}{\sin \gamma} - 1\right)$$

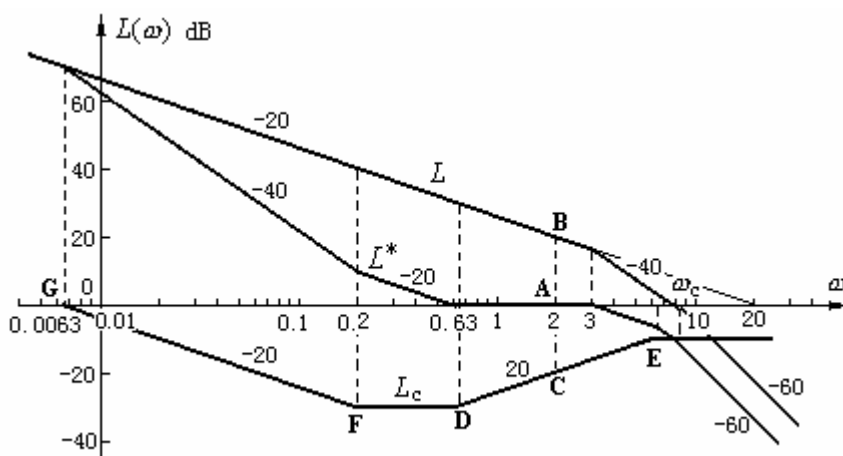
$$\therefore \gamma \approx 90^\circ$$

$$t_s' \leq \frac{t_s}{2} = \frac{6.67}{2} = 3.38$$

由第(2)步设计结果  $t_s = 6.67$  对应于  $\omega_c = 1$ 。由频域时域的反比关系 ( $\xi$  一定时), 应取:

$$\omega_c' = 2\omega_c = 2(\text{rad/s})$$

作出  $K_v = 20$  的原系统开环对数幅频特性曲线  $L(\omega)$  如图解5-38所示:



图解5-38

$$\omega_c = \sqrt{3 \times 20} = 7.75$$

$$\gamma = 180^\circ - 90^\circ - \arctan \frac{7.75}{3} - \arctan \frac{7.75}{9} = -19.55^\circ \quad (\text{系统不稳定})$$

在  $\omega_c' = 2$  处, 原系统相角储备:

$$\gamma_2 = 180^\circ - 90^\circ - \arctan \frac{2}{3} - \arctan \frac{2}{9} = 43.78^\circ$$

需采用迟后—超前校正方法。超前部分需提供超前角

$$\varphi_m = \gamma - \gamma_2 + 5^\circ = 90^\circ - 43.78^\circ + 5^\circ = 51.22^\circ$$

查课本图5-65(b), 对应超前部分应满足:

$$a \approx 10 \quad 10 \lg a = 10$$

在  $\omega_c' = 2$  处定出 C 使  $\overline{AB} = \overline{AC}$ , 过 C 作 +20dB/dec 直线 (D、E 相距 10 倍频, C 位于 D、E 的中点), 交出 D、E, 得

$$\omega_D = 0.63 \quad \omega_E = 6.3$$

定 F 点使  $\omega_F = 0.1 \times \omega_c' = 0.2$ , 过 F 作 -20dB/dec 斜率直线交频率轴于 G, 得  $\omega_G = 0.0063$

$$\therefore G_c(s) = \frac{(\frac{s}{0.2} + 1)(\frac{s}{0.6} + 1)}{(\frac{s}{0.0063} + 1)(\frac{s}{6.3} + 1)}$$

$$G(s)G_c(s) = \frac{20(\frac{s}{0.2} + 1)(\frac{s}{0.6} + 1)}{s(\frac{s}{3} + 1)(\frac{s}{9} + 1)(\frac{s}{0.0063} + 1)(\frac{s}{6.3} + 1)}$$

验算:

$$\begin{aligned} \gamma &= 180^\circ + \arctan \frac{2}{0.2} + \arctan \frac{2}{0.63} - 90^\circ - \arctan \frac{2}{3} - \arctan \frac{2}{9} - \arctan \frac{2}{0.0063} - \arctan \frac{2}{6.3} \\ &= 180^\circ + 84.29^\circ + 72.52^\circ - 90^\circ - 33.69^\circ - 12.59^\circ - 89.82^\circ - 17.61^\circ = 93.15^\circ > 90^\circ \end{aligned}$$

$$\sigma\% \approx 15\%$$

$$\text{查图5-61} \quad \frac{6.3}{\omega_c'} = \frac{6.3}{2} = 3.15 < 3.38 \quad (\text{符合要求})$$

得出满足要求的串联校正装置传递函数:

$$G_c(s) = \frac{(\frac{s}{0.2} + 1)(\frac{s}{0.6} + 1)}{(\frac{s}{0.0063} + 1)(\frac{s}{6.3} + 1)}$$

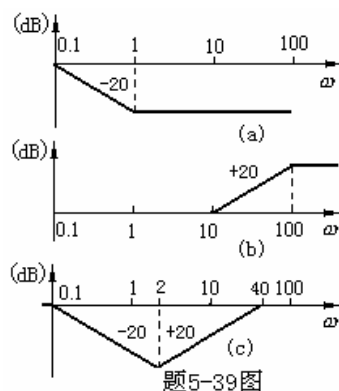
**5-39** 题5-39图为三种推荐的串联校正网络的对数幅频特性，它们均由最小相角环节组成。若原控制系统为单位反馈系统，其开环传递函数

$$G(s) = \frac{400}{s^2(0.01s+1)}$$

试问：

(1) 这些校正网络中，哪一种可使校正后系统的稳定程度最好？

(2) 为了将12(Hz)的正弦噪声削弱10倍左右，你确定采用哪种校正网络？



解 (1)

(a) 采用迟后校正时，校正装置的传递函数为  $G_{ca}(s) = \frac{s+1}{10s+1}$

校正后系统开环传递函数为  $G_{ca}(s) \cdot G(s) = \frac{400(s+1)}{s^2(0.01s+1)(10s+1)}$

画出对数幅频特性曲线如图解5-39中曲线  $L_a$  所示：

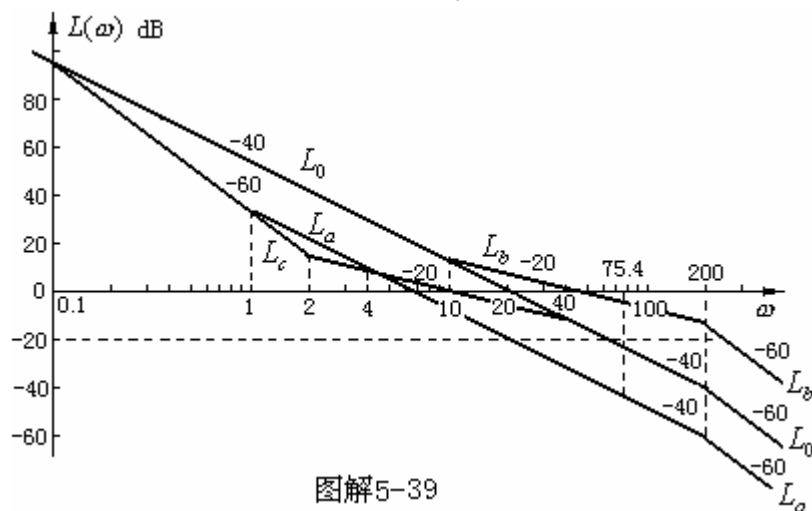
截止频率  $\omega_{ca} = \sqrt{4 \times 10} = 6.32$

相角裕度  $\gamma_a = 180^\circ + \varphi_a(\omega_{ca}) = -11.7^\circ$  (系统不稳定)

(b) 采用超前校正时，校正装置的传递函数为  $G_{cb}(s) = \frac{0.1s+1}{0.01s+1}$

校正后系统开环传递函数为  $G_{cb}(s) \cdot G(s) = \frac{400(0.1s+1)}{s^2(0.01s+1)^2}$

画出对数幅频特性曲线如图解5-39中曲线  $L_b$  所示：



图解5-39



$$\text{截止频率} \quad \omega_{cb} = \frac{\omega_0^2}{10} = \frac{20^2}{10} = 40$$

$$\text{相角裕度} \quad \gamma_b = 180^\circ + \varphi_b(\omega_{cb}) = 32.36^\circ$$

$$(c) \text{ 采用迟后-超前校正时, 校正装置的传递函数为 } G_{cc}(s) = \frac{(0.5s+1)^2}{(10s+1)(0.02s+1)}$$

$$\text{校正后系统开环传递函数为 } G_{cc}(s) \cdot G(s) = \frac{400(0.5s+1)^2}{s^2(0.01s+1)(10s+1)(0.025s+1)}$$

画出对数幅频特性曲线如图解5-39中曲线  $L_c$  所示:

$$\text{截止频率} \quad \omega_{cc} = \frac{\omega_0^2}{\omega_{cb}} = \frac{20^2}{40} = 10$$

$$\text{相角裕度} \quad \gamma_c = 180^\circ + \varphi_c(\omega_{cc}) = 48.21^\circ$$

可见, 采用迟后校正时系统不稳定; 采用迟后-超前校正时稳定程度最好, 但响应速度比超前校正差一些。

(2) 确定使12Hz正弦噪声削弱10倍左右的校正网络

$$f = 12\text{Hz 时}, \quad \omega = 2\pi f = 75.4 \text{ (rad/s)}$$

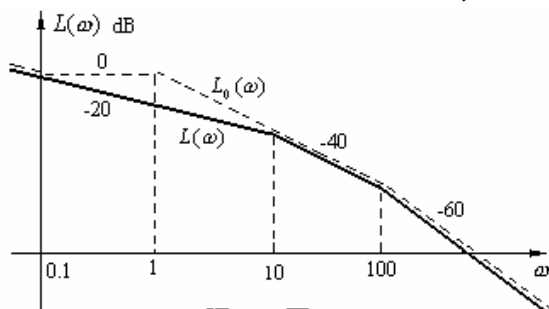
对于单位反馈系统, 高频段的闭环幅频特性与开环幅频特性基本一致。从Bode图上看, 在  $\omega = 75.4$  处, 有

$$L_c(75.4) = 20 \lg \frac{1}{\alpha_c} = -23\text{dB}$$

衰减倍数  $\alpha_c = 10^{\frac{23}{20}} = 14.13 \approx 10$ , 可见, 采用迟后-超前校正可以满足要求。

**5-40** 某系统的开环对数幅频特性如题5-40图所示, 其中虚线表示校正前的, 实线表示校正后的。要求

- (1) 确定所用的是何种串联校正方式, 写出校正装置的传递函数  $G_c(s)$ ;
- (2) 确定使校正后系统稳定的开环增益范围;
- (3) 当开环增益  $K=1$  时, 求校正后系统的相角裕度  $\gamma$  和幅值裕度  $h$ 。



题5-40图

解 (1) 由系统校正前、后开环对数幅频特性曲线可得校正装置的对数幅频特性曲线如图解5-40  $L_c(\omega) = L(\omega) - L_0(\omega)$  所示。从而可得

$$G_c(s) = \frac{(s+1)^2}{(10s+1)(0.1s+1)}$$

所用的是串联迟后-超前校正方式。

(2) 由题5-40图中实线可写出校正后系统的开环传递函数

$$G(s) = \frac{K}{s(0.1s+1)(0.01s+1)}$$

校正后系统闭环特征方程为

$$D(s) = s^3 + 110s^2 + 1000s + 1000K = 0$$

列劳思表

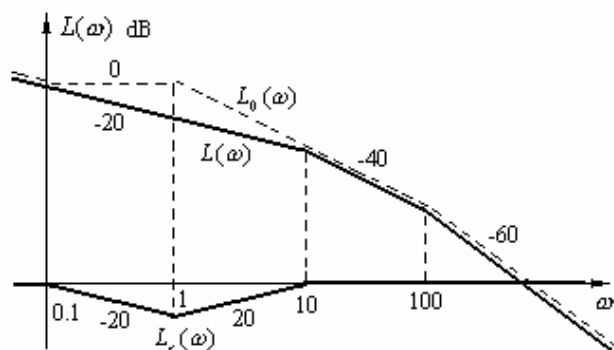
$s^3$	1	1000	
$s^2$	110	1000K	
$s^1$	(11000 - 1000K)/110		$\rightarrow K < 110$
$s^0$	1000K		$\rightarrow K > 0$

所以有  $0 < K < 110$ 。

(3) 当  $K = 1$  时, 由题5-40图可看出

$$\begin{cases} \omega_c = 1 \\ \omega_g = \sqrt{10 \times 100} = 31.6 \\ \gamma = 180^\circ + \varphi(\omega_c) = 83.72^\circ \\ h = 1/|G(j\omega_g)| = 109.8 \end{cases}$$

所以有



图解5-40

